

**TUGAS AKHIR**

**PERENCANAAN FONDASI TIANG PANCANG DAN  
BORED PILE PROYEK PEMBANGUNAN GEDUNG FAKSIS  
DPRD KUDUS**

**Diajukan untuk Memenuhi Persyaratan dalam Menyelesaikan  
Program Sarjana Program Studi Teknik Sipil  
Fakultas Teknik Universitas Islam Sultan Agung**



**Disusun Oleh :**

**Arнета Fatika Sari**

**NIM : 30201800027**

**Putri Rahmawati**

**NIM : 302001800152**

**PROGRAM STUDI TEKNIK SIPIL FAKULTAS TEKNIK  
UNIVERSITAS ISLAM SULTAN AGUNG  
2022**

LEMBAR PENGESAHAN

PERENCANAAN FONDASI TIANG PANCANG PERSEGI DAN BORED PILE  
PROYEK PEMBANGUNAN GEDUNG FRAKSI DPRD KUDUS



Arinda Fatika Sari  
NIM : 302010800027  
Putri Rahmawati  
NIM : 30201800152

Telah disetujui dan disahkan di Semarang, juli 2023.

Tim Pengaji

Tanda Tangan

1. Prof. Ir. Pratikso, M.Si., Ph.D  
NIDN: 0627115501
2. Lita Fitriyana, ST., M.Eng  
NIDN: 0605016802
3. Dr. Abdul Rechim, ST., MT  
NIDN: 0608067501

Kelar Program Studi Teknik Sipil  
Fakultas Teknik  
Universitas Islam Sultan Agung  
جامعة سلطان سعيد العجمي

Muhamad Rusdi Ahyar, ST., M.Eng.  
NIDN: 0625059102

## BERITA ACARA BIMBINGAN TUGAS AKHIR

No: 12/A.1/SA-T/VII/2022

Pada hari ini tanggal 08-08-2022 berdasarkan surat keputusan Dekan Fakultas Teknik, Universitas Islam Sultan Agung perihal penunjukan Dosen Pembimbing Utama dan Dosen Pembimbing Pendamping:

- |                  |   |                                  |
|------------------|---|----------------------------------|
| 1. Nama          | : | Prof. Ir. H. Pratikso, SMT, Ph.D |
| Jabatan Akademik | : | Guru Besar                       |
| Jabatan          | : | Dosen Pembimbing Utama           |
| 2. Nama          | : | Lisa Fitriyana, ST, M.Eng        |
| Jabatan Akademik | : | Lektor                           |
| Jabatan          | : | Dosen Pembimbing Pendamping      |

Dengan ini menyatakan bahwa mahasiswa yang jenjang di bawah ini telah menyelesaikan bimbingan Tugas Akhir:

Armenia Frizka San  
NTM : 30201800017

Patri Rahmatullah  
NIM : 30201800152

Judul : PERENCANAAN PONDASI TIANG PANCANG DAN BORED  
FILE PROYEK PEMBANGUNAN GEDUNG FAKULTAS DPRD KUDUS

Dengan sifatnya sebagai berikut :

No	Tahapan	Tanggal	Keterangan
1	Pengumpulan dosen pembimbing	09/02/2022	
2	Seminar Proposisi	24/03/2022	ACC
3	Pengumpulan data	09/04/2022	
4	Analisis data	17/06/2022	
5	Penyusunan laporan	22/06/2022	
6	Selesai laporan	28/07/2022	ACC

Demikian Berita Acara Bimbingan Tugas Akhir / Skripsi ini dibuat untuk diketahui dan dirasa mungkin seputaranya oleh pihak-pihak yang berkepentingan

Dosen Pembimbing Utama

Dosen Pembimbing Pendamping

Prof. Ir. H. Pratikso, SMT, Ph.D

Lisa Fitriyana, ST, M.Eng

Mengetahui,

Ketua Program Studi Teknik Sipil

Muhammad Ruli Alhyar, ST., M.Eng.

## PERNYATAAN BEBAS PLAGIASI

Saya yang bertanda tangan di bawah ini :

NAMA : Putri Rahmawati

NIM : 30201800152

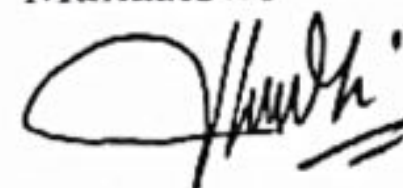
Dengan ini menyatakan bahwa Tugas Akhir yang berjudul :

**"PERENCANAAN FONDASI TIANG PANCANG PERSEGI DAN BORED  
PILE PROYEK PEMBANGUNAN GEDUNG FRAKSI DPRD KUDUS"**

benar bebas dari plagiat, dan apabila pernyataan ini terbukti tidak benar maka saya bersedia menerima sanksi sesuai ketentuan yang berlaku.

Demikian surat pernyataan ini saya buat untuk dipergunakan sebagaimana mestinya.

Semarang, Juli 2022  
Yang membuat pernyataan,  
Mahasiswi



Putri Rahmawati  
NIM : 30201000152



## **PERNYATAAN KEASLIAN**

Saya yang bertanda tangan dibawah ini:

NAMA : Putri Rahmawati

NIM : 30201800027

JUDUL: PERENCANAAN FONDASI TIANG PANCANG PERSEGI DAN  
BORED PILE PROYEK PEMBANGUNAN GEDUNG FRAKSI DPRD KUDUS

Menyatakan dengan sesungguhnya bahwa Tugas Akhir ini merupakan hasil penelitian, pemikiran dan pemaparan asli saya sendiri. Saya tidak mencantumkan tanpa pengakuan bahan - bahan yang telah dipublikasikan sebelumnya atau ditulis oleh orang lain, atau sebagai bahan yang pernah diajukan untuk gelar atau ijazah pada Universitas Islam Sultan Agung Semarang atau perguruan tinggi lainnya.

Apabila dikemudian hari terdapat penyimpangan dan ketidakbenaran dalam pernyataan ini, maka saya bersedia untuk menerima sanksi akademik sesuai dengan peraturan yang berlaku di Universitas Islam Sultan Agung Semarang.

Demikian pernyataan ini saya buat.



Putri Rahmawati  
NIM : 30201800152

## MOTTO

كُلُّمَا خَيْرٌ أَمْهَأَ أَخْرَجَتْ لِلنَّاسِ ثَلَمْزُونَ بِالْمَغْرُوفِ وَتَنْهَوْنَ عَنِ الْمُنْكَرِ وَتُؤْمِنُنَ  
بِاللَّهِ وَلَوْ امْنَ أَهْلُ الْكِتَبِ لَكَانَ خَيْرًا لَهُمْ مِنْهُمُ الْمُؤْمِنُونَ وَأَكْثَرُهُمُ الظَّفِيقُونَ

"Anda (Muslim) adalah orang-orang terbaik yang lahir di umat manusia. Beberapa dari mereka adalah orang-orang yang beriman, tetapi kebanyakan dari mereka adalah jahat." (QS. Ali-Imran: 110)

وَالى رَبِّكَ فَارْغِبِ

"dan hanya kepada Tuahmullah engkau berharap" (QS. Al-Insyirah:8)

بَدَرَ لَذَا يَلْتَهَا الَّذِينَ اعْتَدُوا لَا تَحْلُوا شَعَابِرُ اللَّهِ وَلَا الشَّهْرُ الْحَرامُ وَلَا الْهَنَاءُ وَلَا الْقَلَامُ  
خَرَّمَ بِنَتْنَهُنَّ فَعَنْلَا مِنْ رَبِّهِمْ وَرَضَنَاهُنَّ وَإِذَا خَلَّمَ فَاصْطَادُوا لَا وَلَا أَهِنَّ الْيَتَمُّ  
يَغْرِي مِنْكُمْ مُتَنَانٌ قَوْمٌ لَمْ صَدُّوكُمْ عَنِ الصَّنْجِدِ الْحَرامِ لَمْ شَعَّنَوْا وَلَمْ تَعَاوَنُوْا عَلَى الْبَرِّ  
وَإِلَى الْأَطْمَ وَالْخَوَانِ وَأَنْجُوا اللَّهُ عَلَىَّ إِلَهِ تَبَيَّنَ الْعَقَبَيُونَ التَّفْرِيقُ وَلَا تَعَاوَنُ

"Jangan sampai keheningan(mu) kepada suatu kaum karena mereka menghalangiimu dari Masjidilharap, mendorongmu berbuat melampaui batas (kepada mereka). Dan tolong-menolonglah kamu dalam (mengerjakan) kebajikan dan takwa, dan jangan tolong-menolong dalam berbuat dosa dan permusuhan. Bertakwalah kepada Allah, sungguh, Allah sangat berat siksaan-Nya." (QS. Al-Maidah:2)

نَ يَقُولُ لَهُ كُنْ فَيَكُونُ إِنَّمَا أَمْرَةُ إِذَا أَرَادَ مُتَبَّثًا

"Sesungguhnya urusan-Nya apabila Dia menghendaki sesuatu Dia hanya herkati kepadanya, "Jadilah!" Maka jadilah sesuatu itu." (QS. Yasin:82)

**UNISSULA**  
جامعة سلطان عبد العزيز الإسلامية

## PERSEMBAHIAN

Alhamdulillah, puji syukur kehadiran Allah SWT atas segala rahmat dan hidayah-Nya kepada penulis dalam menyelesaikan laporan tugas akhir ini. Laporan akhir dari proyek ini didedikasikan untuk:

1. Kedua orang tua saya, Bapak Jayadi dan Ibu Kusni, yang selalu memberikan dukungan, cinta, do'a, dan studi untuk menjadi seseorang yang sukses serta mulia di dunia dan akhirat.
2. Keluarga besar saya dan saudara saya yang telah memberikan dukungan dan do'a sehingga tugas akhir ini dapat terselesaikan.
3. Rapak Prof. Ir. Pratikso, MST., Ph.D dan Ibu Lisa Fitriyana, ST., M.Eng atas didikasinya yang telah mencurahkan waktu, tenaga dan pikiran untuk berhasil menyelesaikan tugas akhir ini.
4. Semua dosen dan karyawan Fakultas Teknik Program Studi Teknik Sipil UNISSULA, terimakasih atas semua ilmunya yang bermanfaat.
5. Partner laporan tugas akhir saya Putri Rahmarwati, Terima kasih atas semua waktu dan supportnya dalam menyelesaikan tugas akhir ini.
6. Untuk saudara saya Latifah Rahmadani, teman-teman saya Qurrota A'yun, Putri Widya Ningrum, dan Waityu Nazafi, yang telah memberikan dukungan, membantu dan memberikan semangat dalam mengerjakan tugas akhir ini.
7. Semua teman-teman Fakultas Teknik UNISSULA periode 2017 dan 2018, yang telah membantu, mendukung dan memberikan semangat.

Armeta Fatika Sari  
NIM : 30201800027

## **PERSEMBAHIAN**

Alhamdulillah, puji syukur kehadiran Allah SWT atas segala rahmat dan hidayah-Nya kepada penulis dalam menyelesaikan laporan tugas akhir ini. Laporan akhir dari proyek ini didedikasikan untuk:

1. Orang tua saya, Bapak Pasman dan Ibu Kamah, serta adik saya Mohammad Reza Saputra yang selalu memberikan dukungan, cinta, do'a, dan studi untuk menjadi seseorang yang sukses serta mulia di dunia dan akhirat.
2. Keluarga besar dan saudara saya yang telah memberikan dukungan dan do'a sehingga tugas akhir ini dapat terselesaikan.
3. Bapak Prof. Ir. Pratikso, MST., Ph.D dan Ibu Lisa Patriyana, ST., M.Eng atas didikasinya yang telah mencurahkan waktu, tenaga dan pikiran untuk berhasil menyelesaikan tugas akhir ini.
4. Semua dosen dan karyawan Fakultas Teknik Program Studi Teknik Sipil UNISSULA, terimakasih atas semua ilmunya yang bermanfaat.
5. Partner laporan tugas akhir saya Arnetta Fatika Sari. Terima kasih atas semua waktu dan suporinya dalam menyelesaikan tugas akhir ini.
6. Untuk saya rekan saya Latifah Ramadhani, Qurrota A'yun, Putri Widya Ningrum, Wahyu Nazali, dan Nur Laila, Santikor Dwi P.N, yang telah memberikan dukungan, membantu dan memberikan semangat dalam mengerjakan tugas akhir ini.
7. Teman-teman area genuk yang selalu mensupport dan memberi semangat saya selama mengerjakan Tugas Akhir.
8. Semua teman-teman Fakultas Teknik UNISSULA periode 2017 dan 2018, yang telah membantu, mendukung dan memberikan semangat.

Putri Rahmawati  
NIM : 30201800152

## KATA PENGANTAR

Assalamualaikum Wr. Wb.

Puji syukur kehadiran Allah SWT yang telah memberikan rahmat dan hidayahnya kepada penulis untuk menyelesaikan Tugas Akhir yang berjudul PERENCANAAN FONDASI TIANG PANCANG DAN BORED PILE PROYEK PEMBANGUNAN GEDUNG FRAKSI DPRD KUDUS. Penyelesaian Tuga Akhir ini bertujuan untuk memenuhi persyaratan menyelesaikan Pendidikan Setara Satu (S1) di Fakultas Teknik Program Studi Teknik Sipil Universitas Islam Sultan Agung (UNISSULA) Semarang. Laporan Tugas Akhir ini telah didukung dan dibimbing oleh berbagai pihak yang telah menyumbangkan ide-ideanya kepada penulis. Penulis lebih lanjut terima kasih:

1. Bapak Ir. H. Rachmat Mulyono, MT., Ph. D, selaku Dekan Fakultas Teknik Universitas Islam Sultan Agung Semarang
2. Bapak Muhammad Rusli Ahyar, ST., M.Eng, selaku Kaprodi Teknik Sipil Fakultas Teknik Universitas Islam Sultan Agung Semarang
3. Bapak Prof. Ir. Pratikso, MST., Ph.D., selaku dosen pembimbing I Tugas akhir, yang telah menyisihkan waktu dan tenaga untuk membimbing dengan sabar.
4. Ibu Lisa Fitriyana, ST., M.Eng, selaku dosen pembimbing ke II Tugas Akhir, yang telah meyiahkan waktu dan tenaga untuk membimbing dengan sabar.
5. Semua pihak yang tak disebutkan dalam membantu penulisan Tugas Akhir.

Penyusun menyadari bahwa laporan Tugas Akhir ini jauh dari kata kesempurnaan. Maka dari itu, penyusun mengharap kritik dan saran yang bersifat membangun dari pembaca. Semoga laporan Tugas Akhir ini dapat bermanfaat bagi berbagai pihak dan pembaca secara umum dan khususnya mahasiswa Program Studi Teknik Sipil, Fakultas Teknik Universitas Islam Sultan Agung Semarang.

Wassalamualaikum Wr.Wb.

Semarang, Juli 2022

Penyusun

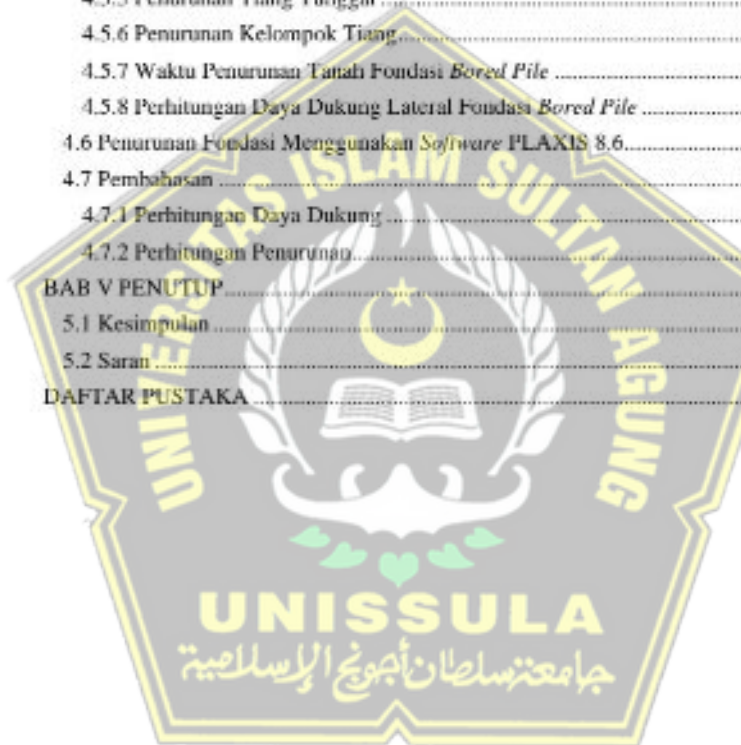


## DAFTAR ISI

LEMBAR PENGESAHAN .....	vii
BERITA ACARA BIMBINGAN TUGAS AKHIR .....	iii
PERNYATAAN BEBAS PLAGIASI .....	iv
PERNYATAAN KEASLIAN .....	vi
MOTTO .....	viii
PERSEMBAHAN .....	ix
KATA PENGANTAR .....	xi
DAFTAR ISI .....	xiii
DAFTAR TABEL .....	xvi
DAFTAR GAMBAR .....	xvii
ABSTRAK .....	xix
<i>ABSTRACT</i> .....	xx
BAB I PENDAHULUAN .....	1
1.1 Latar Belakang .....	1
1.2. Rumusan Masalah .....	2
1.3. Maksud dan Tujuan .....	2
1.4. Batasan Masalah .....	2
1.5. Sistematiska Penulisan .....	3
BAB II. TINJAUAN PUSTAKA .....	4
2.1. Pengertian Tanah .....	4
2.2 Klasifikasi Tanah .....	5
2.3 Fondasi .....	8
2.4 Klasifikasi Fondasi .....	8
2.4.1 Fondasi Dangkal .....	8
2.4.2 Fondasi Dalam .....	9
2.5 Kapasitas Daya Dukung Fondasi .....	11
2.5.1 Daya Dukung Ultimit Fondasi .....	11
2.5.2 Kapasitas Daya Dukung Tiang pancang persegi Dari Hasil Sondir .....	12
2.5.3 Kapasitas Daya Dukung <i>Minipile</i> Tunggal .....	14
2.5.4 Daya Dukung <i>Tiang pancang persegi Kelompok</i> .....	15
2.5.5. Distribusi Beban Pada Tiang .....	16
2.5.6 Kapasitas Kuat Dukung <i>Bored Pile</i> dari Hasil Sondir .....	17

2.5.7 Efisiensi Daya Dukung Fondasi <i>Bored Pile</i> (kelompok) .....	20
2.6 Menentukan Jarak Antar Tiang.....	21
2.7 Menentukan Banyak Tiang Fondasi Yang Dibutuhkan.....	21
2.8 Perhitungan Daya Dukung Lateral .....	21
2.9 Penurunan Pada Fondasi <i>Bored Pile</i> .....	26
2.10 Waktu Penurunan .....	28
2.11 Perhitungan Penulangan .....	28
2.12 Pemodelan Menggunakan Software .....	32
<b>BAB III METODOLOGI.....</b>	<b>34</b>
3.2 Metode Persiapan.....	34
3.1.1 Pendahuluan .....	34
3.1.2 Pengumpulan Data .....	34
3.1.3 Lokasi Proyek.....	35
3.1.4 Data Umum Proyek .....	35
3.2. Bagan Alir.....	37
3.3 Permodelan menggunakan Program SAP .....	38
3.4 Permodelan menggunakan Program Aplikasi Plaxis 8.2.....	39
3.5 Metode Perhitungan.....	40
3.3.1 Perhitungan Daya Dukung Ultimit Fondasi .....	40
3.3.2 Perhitungan Daya Dukung Fondasi Metode Meyerhoff .....	40
3.3.3 Perhitungan Efisiensi Daya Dukung Fondasi .....	40
3.3.4 Menentukan Banyak Tiang Fondasi yang Dibutuhkan .....	40
3.3.5 Perhitungan Daya Dukung Lateral Metode Broms .....	40
3.3.6 Perhitungan Waktu Penurunan .....	40
<b>BAB IV HASIL DAN PEMBAHASAN .....</b>	<b>41</b>
4.1 Tinjauan Umum .....	41
4.2 Design Struktur Atas dengan Software SAP 2000 v.14.....	41
4.3 Design dan Pembebatan Struktur .....	42
4.4 Analisa Daya Dukung Fondasi <i>Tiang pancang persegi</i> .....	47
4.4.1 Daya Dukung Fondasi <i>Tiang pancang persegi</i> Metode Mayerhoft (1976) .....	48
4.4.2 Perhitungan Jarak Antar Fondasi <i>Tiang pancang persegi</i> dan Jarak As ke Tepi .....	49
4.4.3 Kebutuhan Jumlah Fondasi <i>Tiang pancang persegi</i> .....	49
4.4.4 Efisiensi Daya Dukung Tiang .....	50
4.4.5 Penurunan Tiang Tunggal .....	50

4.4.6 Penurunan Kelompok Tiang.....	52
4.4.7 Waktu Penurunan Tanah Fondasi <i>Tiang pancang persegi</i> .....	52
4.4.8 Perhitungan Daya Dukung Lateral Fondasi <i>Tiang pancang persegi</i> ....	52
4.5 Analisa Daya Dukung Fondasi <i>Bored Pile</i> .....	55
4.5.1 Daya Dukung Fondasi <i>Bored Pile</i> Metode Mayethoff .....	55
4.5.2 Perhitungan Jarak Antar Fondasi <i>Bored Pile</i> Dan Jarak As Ke Tepi....	56
4.5.3 Kebutuhan Jumlah Fondasi <i>Bored Pile</i> .....	56
4.5.4 Efisiensi Daya Dukung Tiang .....	57
4.5.5 Penurunan Tiang Tunggal .....	57
4.5.6 Penurunan Kelompok Tiang.....	58
4.5.7 Waktu Penurunan Tanah Fondasi <i>Bored Pile</i> .....	58
4.5.8 Perhitungan Daya Dukung Lateral Fondasi <i>Bored Pile</i> .....	59
4.6 Penurunan Fondasi Menggunakan Software PLAXIS 8.6.....	61
4.7 Pembahasan .....	76
4.7.1 Perhitungan Daya Dukung .....	76
4.7.2 Perhitungan Penurunan.....	76
BAB V PENUTUP .....	77
5.1 Kesimpulan .....	77
5.2 Saran .....	77
DAFTAR PUSTAKA .....	79



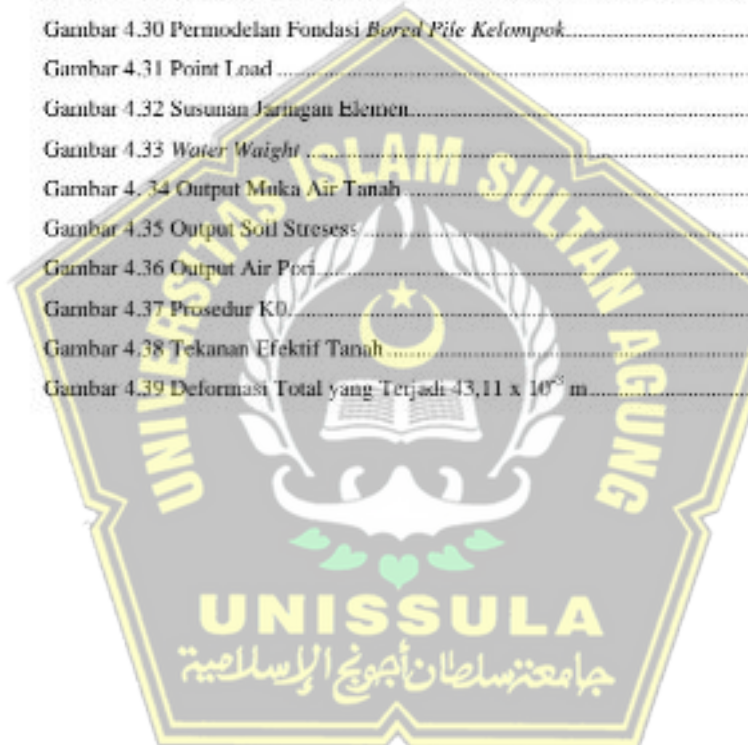
## DAFTAR TABEL

Tabel 2. 1 Parameter Tanah Dari Hasil Uji Sondir .....	5
Tabel 2. 2Nilai Konsistensi danTekanan Konus .....	6
Tabel 2. 3 Konsistensi dengan Tekanan Konus .....	6
Tabel 2. 4 Simbol Tanah .....	8
Tabel 2. 5Faktor Keamanan .....	12
Tabel 2. 6Faktor Empiris $F_b$ .....	18
Tabel 2. 7 Nilai-nilai $n_b$ untuk tanah granular ( $c = 0$ ) .....	25
Tabel 2. 8 Nilai-nilai $n_b$ untuk tanah kohesif (Hardiyatno, 2011).....	25
Tabel 2. 9 Koefisien Empiris .....	27
Tabel 2. 10 Derajat konsolidasi .....	28
Tabel 3.1 Hasil Titik Uji Sondir .....	34
Tabel 3.2 Data Umum Proyek .....	35
Tabel 3.3 Data Teknis .....	36
Tabel 4.1 Beban Hidup .....	43
Tabel 4.2 Kategori Resiko .....	44
Tabel 4.3 Faktor Keulangan Gempa .....	44
Tabel 4. 4 Kategori Desain Seismik Berdasarkan Nilai $S_{ns}$ .....	45
Tabel 4. 5 Kategori Desain Seismik Berdasarkan Nilai $S_{sd}$ .....	45
Tabel 4.6 Faktor Reduksi Gempa .....	45
Tabel 4.7 Hasil <i>Output Joint Reaction</i> .....	47
Tabel 4. 8 data tanah .....	48
Tabel 4. 9 Hasil Daya Dukung Fondasi Tiang panjang persegi Metode Mayerhoff .....	49
Tabel 4.10 Hasil Daya Dukung Fondasi Bored Pile Metode Mayerhoff .....	56
Tabel 4.11 Parameter Tanah korelasi dengan N-SPT gedung fraksi DPRD Kudus .....	62
Tabel 4.12 Perbandingan Perhitungan Daya Dukung Fondasi .....	76
Tabel 4.13 Perbandingan Perhitungan Penurunan Fondasi .....	76

## DAFTAR GAMBAR

Gambar 2. 1 Macam Bentuk Fondasi ( Hardiyatno, 2002).....	9
Gambar 2. 2Fondasi <i>Bored Pile</i> (Fitriyana, 2020).....	11
Gambar 2. 3Defleksi dan mekanisme keruntuhan tiang ujung behas (a)fondasi tiang pendek, (b) fondasi tiang panjang (Broms,1964).....	24
Gambar 2. 4 Grafik Tahanan Lateral Ultimit Tiang Pada Tanah Kohesif (a) Tiang Pendek, (b) Tiang Panjang (Broms,1964).....	25
Gambar 2. 5 (A) Penampang Lingkaran , (B) Penampang Persegi .....	31
Gambar 3. 1 Denah Lokasi Pembangunan Gedung Fraksi DPRD Kabupaten Kudus (Google Earth, 2021).....	35
Gambar 4.1 Desain struktur atas aplikasi SAP v.14 .....	42
Gambar 4.2 Peta Periode Gempa(SNI 1726 : 2019).....	46
Gambar 4. 3 Nilai <i>Respon Spektrum</i> .....	46
Gambar 4.4 Tahanan Ultimit Fondasi <i>Tiang panjang persegi</i> .....	55
Gambar 4.5 Tahanan Ultimit Fondasi <i>Bored Pile</i> .....	61
Gambar 4. 6 <i>General Setting</i> .....	63
Gambar 4. 7 <i>General Setting</i> .....	63
Gambar 4. 8 Permodelan Kontur Tanah .....	63
Gambar 4. 9 Data Umum Tanah .....	64
Gambar 4. 10 <i>Mohr Coulomb</i> .....	64
Gambar 4. 11 <i>Mohr Coulomb</i> .....	64
Gambar 4. 12 Data Material Fondasi .....	65
Gambar 4. 13 Permodelan .....	65
Gambar 4. 14 Input Pembebatan .....	65
Gambar 4. 15 Susunan Jaringan Elemen .....	66
Gambar 4. 16 <i>Water Weight</i> .....	66
Gambar 4. 17 Muka Air Tanah .....	66
Gambar 4. 18 Output Soil Stresscess .....	67
Gambar 4. 19 Tekanan Air Pori .....	67
Gambar 4. 20 Prosedur K0 .....	68
Gambar 4. 21 Tekanan Efektif Tanah .....	68

Gambar 4.22 Deformasi otal yang Terjadi $31,17 \times 10^{-3}$ m.....	69
Gambar 4.23 Pengaturan <i>Global-Project</i> .....	69
Gambar 4.24 Pengaturan <i>Global-Dimensi</i> .....	70
Gambar 4.25 Permodelan Kontur Tanah .....	70
Gambar 4.26 Mohr-Coloumb.....	70
Gambar 4.27 Mohr Colomb .....	71
Gambar 4.28 Dialog Muka Material Pasir .....	71
Gambar 4.29 Data Material Fondasi .....	71
Gambar 4.30 Permodelan Fondasi <i>Bored Pile Kelompok</i> .....	72
Gambar 4.31 Point Load .....	72
Gambar 4.32 Susunan Jaringan Elemen.....	73
Gambar 4.33 Water Waight .....	73
Gambar 4.34 Output Muka Air Tanah.....	73
Gambar 4.35 Output Soil Stress.....	74
Gambar 4.36 Output Air Pori.....	74
Gambar 4.37 Prosedur K0.....	75
Gambar 4.38 Tekanan Efektif Tanah .....	75
Gambar 4.39 Deformasi Total yang Terjadi $43,11 \times 10^{-3}$ m .....	75



## ABSTRAK

Pembangunan Gedung Fraksi DPRD Kudus didesain 4 lantai dengan luas tanah  $612 \text{ m}^2$  dan luas bangunan  $1680 \text{ m}^2$ . Pada proyek pembangunan gedung Fraksi DPRD Kudus ini menggunakan fondasi *tiang pancang persegi*  $25x25 \text{ cm}$ . Dikarenakan adanya perencanaan fondasi yang kurang matang, sehingga dindakan penambahan tiang pancang persegi pada proyek Pembangunan gedung Fraksi DPRD Kudus. Oleh karena itu, pada penelitian ini merencanakan ulang fondasi untuk Proyek pembangunan gedung Fraksi DPRD Kudus.

Analisa menggunakan data sondir dari studi kasus Proyek Pembangunan Gedung Fraksi DPRD Kabupaten Kudus. Metode yang digunakan untuk menghitung daya dukung yaitu metode Mayerhof 1956 dan metode Broms 1964. Sedangkan Analisa penurunannya menggunakan metode Vessic 1977 dan Software *Plaxis V.8.6*.

Berdasarkan analisa yang dilakukan, pembaharuan menggunakan software SAP 2000 V.14 diperoleh beban  $859,2162 \text{ KN}$ , dengan merencanakan fondasi *bored pile* berdiameter  $50 \text{ cm}$  dengan kedalaman  $11,4 \text{ m}$  dengan corus  $110 \text{ kg/cm}^2$  dan tiang pancang persegi dengan dimensi  $50 \times 50 \text{ cm}$  dengan kedalaman  $11,4 \text{ m}$  dengan corus  $110 \text{ kg/cm}^2$ . Hasil perhitungan daya dukung kelompok tiang *bored pile* sebesar  $970,54 \text{ KN}$ , sedangkan untuk tiang pancang persegi sebesar  $917,432 \text{ KN}$ . Dan daya dukung lateral *bored pile* sebesar  $888,64 \text{ KN}$  sedangkan tiang pancang persegi sebesar  $879,14 \text{ KN}$ . Besar penurunan yang terjadi pada tiang pancang persegi tunggal  $1,1 \text{ cm}$  sedangkan kelompok  $2,56 \text{ cm}$  dan untuk *bored pile* tunggal sebesar  $0,3 \text{ cm}$  dan kelompok sebesar  $0,6 \text{ cm}$ . Untuk penurunan PLAXIS v.8.6 sebesar  $0,15 \text{ cm}$  untuk tunggal dan  $0,3 \text{ cm}$  untuk kelompok. Penurunan tersebut dapat terjadi selama  $2,795 \text{ tahun}$ . Kesimpulan ini berdasarkan pada evaluasi yang terjadi pada fondasi *bored pile* dan tiang pancang persegi yang direncanakan kuat menahan beban struktur atas.

**Kata Kunci :** Fondasi, *Tiang pancang persegi*, *Bored Pile*, daya dukung dan penurunan fondasi.

## ABSTRACT

The construction of the Kudus DPRD Faction Building designed 4 floors with a land area of 612 m<sup>2</sup> and a building area of 1680 m<sup>2</sup>. In this construction project, the Kudus DPRD Faction building uses a tiang pancang persegi foundation of 25x25 cm. Due to the lack of proper foundation planning, the addition of piles was made to the construction project of the Kudus DPRD Faction building. Therefore, in this study, we plan the foundation for the construction project of the Kudus DPRD Faction building.

The analysis uses sendir data from a case study of the Kudus Regency DPRD Fraction Building Construction Project. The method used to calculate the carrying capacity is the Mayerhof method 1956 and the Brom method 1964. Meanwhile, the settlement analysis uses the Vessic 1977 method and Plaxis V.8.6 software.

Based on the analysis carried out, loading using SAP 2000 V.14 software obtained a load of 859,2162 KN, by planning a drill pile foundation with a diameter of 50 cm with a depth of 11.4 m with a cone of 110 kg/cm<sup>2</sup> and a tiang pancang persegi with dimensions of 50 x 50 cm with a depth of 11 ,4 m with a cone of 110 kg/cm<sup>2</sup>. The results of the calculation of the carrying capacity of the bore pile pile group are 970.54 KN, while for the tiang pancang persegi it is 917.432 KN. And the lateral bore pile bearing capacity is 888.64 KN while the tiang pancang persegi is 879.14 KN. The magnitude of the decrease that occurred in the single tiang pancang persegi was 1.1 cm while the group was 2.56 cm and for the single boring pile it was 6.3 cm and the group was 0.6 cm. For PLAXIS v.8.6 the decrease was 0.15 for single and 0.3 cm for the group. The decline can occur for 2,795 years. This conclusion is based on the evaluation that occurred on the foundation of the pile foundation and tiang pancang persegis that are planned to withstand the load of the superstructure.

**Keywords:** Foundation, Tiang pancang persegi, Bored Pile, bearing capacity and foundation settlement.

## BAB I

### PENDAHULUAN

#### 1.1 Latar Belakang

Dewan Perwakilan Rakyat Daerah Kabupaten Kudus adalah lembaga legislatif yang menjadi mitra kerja Pemerintah Kabupaten Kudus. Dalam kegiatan DPRD dibutuhkan suatu fasilitas gedung, yang mana Gedung Fraksi DPRD termasuk dalam kategori Bangunan Gedung Negara Provinsi, yaitu bagunan gedung untuk keperluan dinas pelaksanaan tugas otonomi provinsi. Melihat kondisi sarana dan prasarana bangunan Gedung DPRD saat ini adalah bangunan lama. Fungsi bangunan atau ruang-ruang yang ada tidak mampu lagi menampung berbagai macam kegiatan yang ada. Oleh karena itu, dibangunlah gedung Fraksi DPRD Kudus.

Pembangunan Gedung Fraksi DPRD Kudus didesain 4 lantai dengan luas tanah  $612 \text{ m}^2$  dan luas bangunan  $1680 \text{ m}^2$ . Pada proyek pembangunan gedung Fraksi DPRD Kudus ini menggunakan fondasi tiang pancang *pile*  $20x20 \text{ cm}$ . Dikarenakan adanya perencanaan fondasi yang kurang matang, sehingga diadakan penambahan tiang pancang persegi pada proyek Pembangunan gedung Fraksi DPRD Kudus. Oleh karena itu, pada penelitian ini merencanakan ulang fondasi untuk Proyek pembangunan gedung Fraksi DPRD Kudus. Dalam penelitian ini juga mempertimbangkan jenis beban dan kondisi tanah yang terdapat pada Proyek pembangunan gedung Fraksi DPRD Kudus. Seharusnya dalam merencanakan fondasi harus direncanakan dengan matang agar dapat menahan beban yang diterima dengan daya dukung fondasi. Dalam penelitian ini untuk menghitung beban dan perhitungan penurunan yang terjadi menggunakan PLAXIS v.8.

Maka berdasarkan penjelasan diatas penulis akan menyelesaikan penyusunan tugas akhir dengan judul "**PERENCANAAN FONDASI TIANG PANCANG PERSEGI DAN BORED PILE PROYEK PEMBANGUNAN GEDUNG FRAKSI DPRD KUDUS**".

## **1.2. Rumusan Masalah**

Menurut latar belakang diatas, berikut rumusan masalahnya :

- a. Berapa beban yang akan diterima dalam perencanaan fondasi *tiang pancang persegi* dan *bored pile*
- b. Berapa daya dukung yang dapat diterima fondasi *tiang pancang persegi* dan *bored pile* pada perencanaan proyek pembangunan gedung Fraksi DPRD Kudus.
- c. Berapa dan sampai tahun berapa penurunan yang akan terjadi pada proyek pembangunan gedung Fraksi DPRD Kudus sesuai dengan data tanah yang telah diuji.

## **1.3. Maksud dan Tujuan**

Pada rumusan masalah diatas, maksud dan tujuan penelitian sebagai berikut :

- a. Mengetahui berapa beban yang harus dipikul oleh fondasi *tiang pancang persegi* dan *bored pile* yang akan direncanakan.
- b. Mengetahui berapa daya dukung fondasi pada proyek pembangunan gedung Fraksi DPRD Kudus.
- c. Mengetahui nilai penurunan yang terjadi dan waktu penurunan yang terjadi akibat beban yang diterima fondasi *tiang pancang persegi* dan *bored pile* pada proyek Pembangunan gedung Fraksi DPRD Kudus.

## **1.4. Batasan Masalah**

Beberapa hal yang menjadi batasan masalah pada penelitian yaitu :

- a. Merencanakan fondasi *tiang pancang persegi* dan *bored pile* menggunakan data tanah dari hasil uji tanah di proyek pembangunan gedung Fraksi DPRD Kudus oleh laboratorium mekanika tanah fakultas teknik Universitas Islam Sultan Agung berupa data sondir.
- b. Pembebatan struktur atas menggunakan aplikasi SAP 2000 v.14.
- c. Perhitungan nilai penurunan fondasi menggunakan aplikasi PLAXIS v.8.6]an untuk mengetahui waktu penurunan menggunakan perhitungan manual.
- d. Aspek yang ditinjau hanya mengenai struktur fondasi *tiang pancang persegi* saja.

## **1.5. Sistematika Penulisan**

Sistematika laporan berfungsi untuk memberikan gambaran yang jelas. Sistematika penyusunan tugas akhir adalah sebagai berikut :

### **BAB I PENDAHULUAN**

Bab ini berisi konteks, rumusan masalah, tujuan penyusunan tugas akhir, batasan masalah serta sistematika penulisan yang akan dilakukan

### **BAB II TINJAUAN PUSTAKA**

Bab ini berisi acuan dan syarat-syarat yang akan dijadikan penyusun untuk menyelesaikan pokok pembahasan pada saat penelitian.

### **BAB III METODOLOGI**

Bab ini berisi tentang metode persiapan, metode pengujian, metode hasil, bagan alir, jadwal pelaksanaan.

### **BAB IV HASIL PENELITIAN**

Bab ini membahas tentang semua hasil uraian perhitungan perencanaan yang dilakukan oleh penulis.

### **BAB V PENUTUP**

Bab ini berisi kesimpulan dan saran yang sekaligus sebagai bagian akhir dari laporan tugas akhir.

## BAB II

### TINJAUAN PUSTAKA

#### 2.1. Pengertian Tanah

Tanah diartikan sebagai material yang terdapat butiran (agregat) mineral-mineral padat yang tidak terikat satu sama lain secara kimia serta dari bahan-bahan organik yang telah melapuk dengan zat cair dan gas yang mengisi rongga-rongga kosong diantara partikel-partikel padat tersebut (Pratikso, 2017). Tanah ialah bahan yang diperoleh dari butiran padar yang mengikat dan terurai dengan cairan dan gas yang mengisi rongga antar partikel (Das, 1995). Tanah adalah benda mati yang terletak pada kulit bumi dan berasal dari mineral hasil pelapukan bewan dan tumbuhan yang terjadi karena facies iklim, wilayah dan waktu pembentukannya (Yuliprianto, 2010).

Tanah merupakan bagian dari alam yang terdiri dari bahan anorganik dan bahan organik. Secara umum, tanah adalah kumpulan partikel mineral alam yang dipisahkan oleh siklus mekanis dan endapan sedimen yang relatif lepas pada batuan dasar (poor rock). Ikatan yang relatif lemah disebabkan oleh deposit intergranular karbon, organik, atau oksida. Ruang antar partikel dapat berisi udara, air, atau keduanya (Hardiyatmo, 1992).

Umumnya tanah dibagi menjadi dua yaitu lengket (kohesif) dan tidak lengket (non kohesif). Tanah tidak lengket ialah tanah yang lengas karena adanya tegangan pernafasan dalam air, seperti pasir. Tanah lengket merupakan tanah yang bercampur dan mengering, seperti tanah liat/lempung (Bowles, 1991).

Jenis tanah yang terdapat di lapangan merupakan tanah non kohesif karena berupa pasir, dengan tanah keras pada kedalaman 11,5 m pada BM-01 dan kedalaman 9,8 m pada BM-02. Maka dalam perencanaan akan digunakan data tanah BM-01 karena memiliki kondisi tanah yang kurang baik dibandingkan BM-02. Dalam perencanaan tersebut memerlukan pemahaman mengenai karakteristik, sifat-sifat dan parameter tanah seperti daya dukung, berat jenis, kadar air, dll.

## 2.2 Klasifikasi Tanah

Sistem klasifikasi tanah adalah suatu sistem untuk mengklasifikasikan beberapa jenis tanah yang berbeda dengan sifat yang sama ke dalam kelompok dan subkelompok berdasarkan kegunaannya. Kebanyakan sistem klasifikasi tanah yang dikembangkan untuk tujuan rekayasa didasarkan pada sifat indeks tanah sederhana seperti distribusi ukuran dan plastisitas (Bowles, 1989).

Klasifikasi tanah berdasarkan benda hasil benda uji sondir di lapangan dapat menentukan jenis tanahnya sesuai dengan data tekanan conus ( $qc$ ) dan hambatan pelekatan ( $f_s$ ) yang terdapat pada Tabel 2.1.

Tabel 2.1 Parameter Tanah Dari Hasil Uji Sondir

Nilai Sondir $qc = \text{Pertahanan}$ ujung conus ( $\text{kg/cm}^2$ )	$f_s = \text{Local Friction}$ ( $\text{kg/cm}^2$ )	Klasifikasi
6	0.15 – 0.4	<i>Humus, very soft clay</i>
6 – 10	0.2	<i>Loose sand, very loose sand</i>
	0.2 – 0.6	<i>Soft clay, soft silty clay</i>
	0.1	<i>Loose pebbles</i>
	0.1 – 0.4	<i>Loose sand</i>
10- 30	0.8 – 2	<i>Slightly chewy clay</i>
30 – 60	1.5	<i>Silty sand, dense sand</i>
	1-3	<i>Silty clay</i>
	1	<i>Loose sand gravel</i>
60 -150	1 – 3	<i>Solid sand, silty sand or solid clay</i>
	3	<i>Gravel clay</i>
150 – 300	1- 20	<i>Dense sand, gravel sand, and rough sand</i>

[Sumber : Das, 2011]

Satu dari beberapa parameter daya dukungan tanah adalah kepadatan kepadatan tanah dari uji penetrasi, yang di mana sifat yang dikorelasikan. Antara lain  $\gamma$ ,  $y_m$ ,  $C_c$ ,  $C_v$ ,  $q_u$ ,  $c$  dan  $\phi$ , dimana nilainya sama.

Tabel 2.2 Nilai Konsistensi dan Tekanan Konus

Kepadatan	Relatif Density (Yd)	Nilai N-SPT	Tekanan Konus $q_c$ (Kg/Cm <sup>2</sup> )	Sudut Geser ( $\phi$ ) (°)
Very Loose	< 0,2	< 4	< 20	< 30
Loose (Lepas)	0,2 -	4 - 10	20 - 40	30 - 35
Medium Dense	0,4 -	10 - 30	40 - 120	35 - 40
Dense	0,6 -	30 - 50	120 - 200	40 - 45
Very Dense	0,8 - 1	> 50	> 200	> 45

(Sumber : Meyerhof, 1956)

Korelasi antara ketebalan tekanan konus serta *Undrained Cohesion* itu sama, nilainya berbanding lurus, semakin tinggi nilainya maka tanah lebih kaku. Berikut adalah klasifikasi konsistensi pada Tabel 2.3.

Tabel 2.3 Konsistensi dengan Tekanan Konus

Konsistensi Tanah	Tekanan Konus $q_c$ (kg/cm <sup>2</sup> )	<i>Undrained Cohesion</i>
Very Soft	< 2,5	< 1,25
Soft	2,5 - 5	1,25 - 2,5
Medium Stiff	5 - 10	2,5 - 5
Stiff	10 - 20	5 - 10
Very Stiff	20 - 40	10 - 20
Hard	> 40	> 20

(Sumber : Bugeman, 1965)

Ada beberapa jenis klasifikasi tanah, antara lain sistem klasifikasi AASHTO (American Association of Highway and Transportation Officials) dan Unified Soil Classification System (USCS). Namun, dalam hal ini kita akan fokus pada Unified Soil Classification System (USCS). Sistem ini pertama kali diperkenalkan oleh Casagrande (1942) untuk digunakan pada operasi lapangan terbang Army Corps of Engineers.

Yang paling luas adalah sistem klasifikasi tanah berdasarkan hasil percobaan laboratorium, sistem klasifikasi satuan tanah. Percobaan laboratorium yang digunakan adalah analisis ukuran partikel dan limit Atterberg. Semua tanah diberi dua huruf referensi berdasarkan hasil percobaan ini. Sistem ini mengklasifikasikan tanah menjadi dua kelompok utama, yaitu:

1. Tanah butiran kasar (*course grained soil*), yaitu tanah kerikil dan tanah pasir dimana kurang dari 50% dari berat total contohnya tanah lolos ayakan No. 200 ( $F_{200} < 50$ ). Simbol dari kelompok tersebut dimulai dengan huruf awal G, adalah untuk kerikil (*gravel*) atau tanah berkerikil dan S, adalah untuk tanah pasir (*sand*) atau tanah berpasir (*sandy soil*).
2. Tanah berbutir halus (*fine = graded soils*) yang lebih dari 50% tanah lolos saringan No. 200 ( $F_{200} \geq 50$ ). Simbol kelompok diawali dengan M untuk lahan *inorganic* (*inorganic silt*), atau C untuk tanah lempung *inorganic* (*inorganic clay*), atau O untuk lahan dan tanah lempung organik. Simbol Pt dipergunakan untuk gambut (*peat*), dan tanah dengan kandungan organik tinggi. Simbol lainnya yang digunakan untuk klasifikasi yaitu W sebagai gradasi baik (*well graded*), P untuk gradasi buruk (*poorly graded*), L sebagai plastisitas rendah (*low plasticity*), dan H sebagai plastisitas tinggi (*high plasticity*).

Tabel 2. 4 Simbol Tanah

Huruf Primer		Huruf Skunder	
G	Kerikil	W	Bergradasi baik
S	Pasir	P	Bergradasi buruk
M	Lanau	M	Butiran halus
C	Lempung	C	Butiran halus plastisitas
O	Tanah Organik	L	Plastisitas rendah ( $LL < 50$ )
Pt	Gambut	H	Plastisitas tinggi ( $LL > 50$ )

(Sumber : Craig, 1991)

### 2.3 Fondasi

Fondasi merupakan struktur bawah yang menyalurkan beban ketanah. Secara umum fondasi ada dua yaitu, fondasi dangkal dan fondasi dalam. Fondasi dangkal hanya bisa menerima beban relatif kecil. Sedangkan fondasi dalam dapat menerima beban bangunan yang lebih besar ( Hardiyatno, 2002).

Fondasi merupakan bagian bangunan yang yang digunakan sebagai peletakan bangunan dan meneruskan beban ke bagian bawalnya (Gunawan, 1990). Fondasi adalah struktur *bottom structure* yang berfungsi menyalurkan beban ke tanah bawahnya (Bowles, 1997).

Jadi dapat disimpulkan bahwa fondasi ialah *bottom structure* yang untuk menyalurkan beban sampai tanah dan tidak boleh terjadi pergeseran dan penurunan pada fondasi tersebut.

### 2.4 Klasifikasi Fondasi

#### 2.4.1 Fondasi Dangkal

##### a. Fondasi Memanjang (*Continuous Footing*)

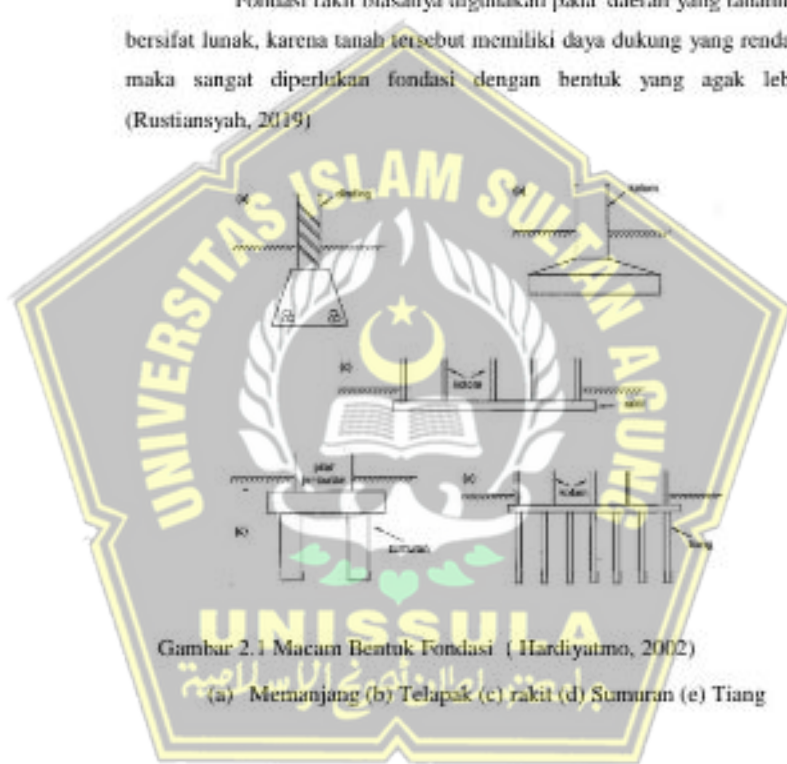
Fondasi memanjang biasa dinamakan dengan fondasi batu kali yang berfungsi untuk menyangga kolom dengan jarak dekat, bias juga untuk menyangga dinding. Biasanya berupa batu kali, pasangan batu hata atau beton tak bertulang.

**b. Fondasi Telapak (*spread footing*)**

Fondasi telapak digunakan untuk tumpuan kolom tunggal, biasanya menggunakan beton dengan tulangan dimanya bentuknya menyerupai telapak dan memiliki tebal dengan ukuran yang disesuaikan. Terkadang digunakan untuk bangunan tingkat.

**c. Fondasi rakit (*raft foundation*)**

Fondasi rakit biasanya digunakan pada daerah yang tanahnya bersifat lunak, karena tanah tersebut memiliki daya dukung yang rendah, maka sangat diperlukan fondasi dengan bentuk yang agak lebar (Rustiansyah, 2019)



Gambar 2.1 Macam Bentuk Fondasi ( Hardiyutmo, 2002)

(a) Memanjang (b) Telapak (c) rakit (d) Sumuran (e) Tiang

#### 2.4.2 Fondasi Dalam

##### a. Fondasi sumuran

Fondasi sumuran adalah fondasi Antara fondasi dalam dan fondasi dangkal, namun lebih digolongkan menjadi fondasi dangkal karena lebih panjang dari lebarnya. Fondasi ini berbentuk bulat berlubang dan ditutup

dengan beton bertulang atau pracetak dengan diameter yang bervariasi, antara lain 200 mm, 320 mm, 380 mm.

**b. Fondasi Tiang pancang persegi**

Fondasi *Tiang pancang persegi* adalah fondasi yang menggunakan kolom beton prefabrikasi yang dihubungkan langsung ke tanah dengan menggunakan alat tiang pancang persegi, seperti HSPD tergantung dari situs keadaan lingkungannya. Fondasi ini sangat disarankan digunakan untuk daerah dengan tanah lunak untuk memudahkan dalam pengerjaan fondasinya.

**c. Fondasi *Bored Pile***

Fondasi *bored pile* didapatkan dari perutusan sampai kedalam rencana dengan membuat lubang pada tanah. Setelah mencapai ketinggian kedalam galian. Sistem pengeboran dapat dijalankan secara manual atau hidrolik. Kedalaman galian berdiameter besar dan sistem perkuatan beron bertulang dirancang sesuai dengan perencanaan. Struktur fondasi ini direncanakan untuk menahan gaya lateral dan guling. Berikut adalah kelebihan dan kekurangan fondasi *bored pile*.

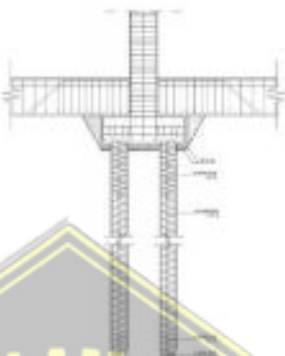
Kelebihan fondasi *bored pile* antara lain:

- Cocok digunakan untuk lingkungan yang padat.
- Tidak ada getaran, sehingga lingkungan sekitar tidak terganggu.
- Kedalaman dapat disesuaikan oleh kebutuhan.
- Fondasi *bored pile* kuat menahan beban lateral yang lebih besar.
- Bagian ujung fondasi lebih besar, yang dapat meningkatkan daya dukung.

Kekurangan fondasi *bored pile* Antara lain:

- Proses pengeboran sangat bergantung pada cuaca.
- Perbesaran ujung fondasi tidak dapat terjadi pada tanah pasir.
- Kebadaatan tanah dapat menurunkan kareeze proses pengeboran.
- Bias menimbulkan longsor pada kondisi tanah tertentu.

- e. Apabila lubang bor kemasukan air, atau terisi dengan lumpur maka dapat menghambat proses pengeboran.



Gambar 2.2 Fondasi Bored Pile

### 2.5 Kapasitas Daya Dukung Fondasi

Kapasitas daya dukung fondasi yaitu potensi tanah untuk mem memberikan dukungan berupa beban terbesar dari bangunan diatasnya. Kapasitas daya dukung fondasi kuat terhadap gaya geser untuk melindungi dari pergeseran yang akan terjadi. Dan fondasi juga harus diletekkan pada tanah keras agar daya dukungnya lebih stabil. Daya dukung fondasi berasal dari *friction end bearing* nya. Berikut ini adalah metode-metode untuk menghitung kapasitas fondasi.

#### 2.5.1 Daya Dukung Ultimit Fondasi

Rumus daya dukung ultimit fondasi adalah:

$$Q_u = Q_p + Q_s \quad 2.1$$

$$Q_{all} = Q_u / SF \quad 2.2$$

Tabel 2.5 Faktor Keamanan

Klasifikasi Struktur	Faktor Keamanan (SF)			
	Kontrol Baik	Kontrol Normal	Kontrol Jelek	Kontrol sangat jelek
Monumental	2,3	3	3,75	4
Permanen	2	2,5	2,8	3,4
Sementara	1,4	2	2,3	2,8

(Sumber : Hardiyatmo, 1996)

### 2.5.2 Kapasitas Daya Dukung Tiang pancang persegi Dari Hasil Sondir

Ini termasuk perbedaan uji coba lapangan, Sondir atau Cone Penetration Testing (CPT). Ini sering dihargai dalam peran rekayasa geoteknik. CPT atau Sondir adalah uji lapangan yang sangat cepat, sederhana, murah, dan andal dengan pengukuran bawah permukaan yang kontinu. CPT atau Sondir juga dapat mengklasifikasikan lapisan tanah dan memperkirakan kekuatan dan sifat tanah. Dalam perancangan pondasi tiang sudut (tiang pancang), data tanah sangat penting untuk perencanaan daya dukung tiang sudut sebelum memulai konstruksi untuk menentukan daya dukung akhir tiang sudut (Padmawati, 2015).

Kapasitas daya dukung ultimit ditentukan dengan Persamaan sebagai berikut :

$$Qu = Qb + Qs = qb ..... 2.3$$

Dimana :

$Qu$  = Kapasitas daya dukung aksial ultimit tiang pancang persegi (ton)

$Qb$  = Kapasitas tahanan di ujung tiang (ton)

$Qs$  = Kapasitas tahanan kulit (ton)

$qb$  = Kapasitas daya dukung di ujung tiang persatuan luas ( $\text{kg/cm}^2$ )

$Ab$  = Luas di ujung tiang. ( $\text{cm}^2$ )

$f$  = Satuan tahanan kulit persatuan luas.

$A_s$  = Luas kulit tiang pancang persegi. ( $\text{cm}^2$ )

Dalam menentukan kapasitas daya dukung aksial ultimit (Qu) dipakai Metode Aoki dan De Alencar. Aoki dan Alencar mengusulkan untuk memperkirakan kapasitas dukung ultimit dari data Sondir. Kapasitas dukung ujung persatu luas (qb) diperoleh sebagai berikut:

$$q_b = \frac{q_{ca}(\text{base})}{f_b} \dots \quad 2.4$$

Dimana :

$q_{ca}$  (base) = Perlawan konus rata-rata ( $\text{kg/cm}^2$ )

1,5D diatas ujung tiang, 1,5D dibawah ujung tiang dan  $f_b$  adalah faktor empirik tergantung pada tipe tanah. Tahanan kulit persatu luas ( $F$ ) diprediksi sebagai berikut:

$$F = q_c(\text{side}) \frac{\alpha_s}{f_s} \dots \quad 2.5$$

Dimana :

$q_c$  (side) = Perlawan konus rata-rata pada masing lapisan sepanjang tiang ( $\text{kg/cm}^2$ )

$f_s$  = Faktor empiric tahanan kulit yang tergantung pada tipe tanah ( $\text{kg/cm}^2$ )

$f_b$  = Faktor empiric tahanan ujung tiang yang tergantung pada tipe tanah.

$\alpha_s$  = Nilai faktor empire tanah.

## UNISSULA

Pada umumnya nilai  $\alpha_s$  untuk pasir = 1,4 persen, nilai  $\alpha_s$  untuk lanau = 3,0 persen dan nilai  $\alpha_s$  untuk lempung = 1,4 persen. Untuk menghitung daya dukung tiang pancang persegi berdasarkan data hasil pengujian sondir dapat dilakukan dengan menggunakan metode Meyerhoff. Daya dukung ultimate fondasi tiang dinyatakan dengan rumus :

$$Q_u = (q_c \times A_h / 3) + (JHP \times O / 5) \dots \quad 2.6$$

Dimana :

$Q_a$  = Daya dukung ujung tiang (kg/tiang)

$Q'c$  = Tahanan konus dari CPT rata ( $\text{kg}/\text{cm}^2$ )

$A_b$  = Luas penampang tiang ( $\text{cm}^2$ )

$O$  = Keliling tiang (cm)

$JPH$  = Tahanan friksi dari selimut tiang rata ( $\text{kg}/\text{cm}^2$ )

$SF = 3$  dan  $5$  (Wesley untuk indonesia)

Daya dukung ijin fondasi dinyatakan dengan rumus

$$Q_{ijin} = \frac{q_c A_t}{s} + \frac{JHL \times K_{1t}}{s} \quad 2.7$$

Dimana :

$Q_{ijin}$  = Kapasitas daya dukung ijin fondasi ( $\text{ton}/\text{cm}^2$ )

$q_c$  = Tahanan ujung sondir ( $\text{kg}/\text{cm}^2$ )

$A_t$  = Luas penampang tiang ( $\text{cm}^2$ )

$JHL$  = Jumlah hambatan lekat.

$K_{1t}$  = Keliling tiang (cm)

### 2.5.3 Kapasitas Daya Dukung *Minipile* Tunggal

Daya dukung tunggal adalah daya dukung tiang tunggal untuk menghitung kapasitas daya dukung *tiang pancang persegi tunggal* menggunakan metode *Meyerhoff (1976)*. Perhitungan daya dukung pada tiang menurut *Meyerhoff* menggunakan Persamaan berikut:

$$Pult = qcr \cdot A_p + \sum f_s \cdot A_s \quad 2.8$$

$$Pult = \frac{ult}{FK} \quad 2.9$$

Dimana :

$Pult$  = Beban maksimum yang bekerja pada tiang

$Pult$  = Kapasitas beban yang diijinkan

$A_p$  = Luas penampang dasar fondasi ( $\text{cm}^2$ )

$A_s$  = Keliling Fondasi tiang (cm)

$qcr = q_c$  rata - rata, sepanjang 4D Sebagian atas rencana ujung tiang, dan 1D dibawah ujung (ton)

$\sum f_s$  = jumlah hambatan pelekat (ton)

$FK = \text{Faktor keamanan nilainya diantara } 2,5\text{-}3, \text{ diambil } 3.$

#### 2.5.4 Daya Dukung *Tiang pancang persegi Kelompok*

Fondasi tiang pancang persegi sangat umum dipasang dalam kelompok yang disebut pile cap, karena tiang pancang persegi diberi jarak dan diikat dengan pile cap. Ada beberapa pertimbangan ketika menghitung daya dukung beban tiang pancang kelompok:

##### 1. Jumlah Tiang

Untuk menentukan jumlah tiang, hitung sesuai dengan beban aksial yang bekerja pada kolom dibagi dengan daya dukung yang diizinkan dari masing-masing tiang. Maka rumus yang digunakan adalah :

$$n = \frac{P}{Qijin} \quad \dots \dots \dots \dots \quad 2.10$$

Dimana :

$n$  = jumlah tiang

$P$  = beban yang bekerja

$Qijin$  = Kapasitas daya dukung ijin tiang tunggal (ton)

##### 2. Jarak Antar Tiang

Berikut adalah rumus untuk menghitung jarak antar tiang pada fondasi:

$$S \leq 2,5D \quad \dots \dots \dots \dots \quad 2.11$$

$$S \geq 3D \quad \dots \dots \dots \dots \quad 2.12$$

Dimana :

$S$  = posisi jarak antar tiang (m)

$D$  = diameter tiang jarak antar *tiang pancang persegi* umumnya minimum 0,6 meter dan maksimum 2 meter.

##### 3. Efisiensi Kelompok Tiang

Salah satu Persamaan yang rekomendasikan oleh *Comverse-Labarre formula* berikut adalah rumus untuk menghitung efisiensi kelompok tiang :

$$Ef = 1 - \left[ \frac{(n-1)m + (m-1)n}{90mn} \right] \cdot \theta \quad \dots \dots \dots \dots \quad 2.13$$

$$Qg = n \cdot q_{ijin} \times Eg \quad 2.14$$

$$\theta = \text{Arc tg } \frac{D}{S} \quad 2.15$$

$$Pg = Eg \cdot nt. Pall \quad 2.16$$

Dimana :

$Eg$  = Efisiensi kelompok tiang (%)

$M$  = Jumlah tiang pada deretan baris

$N$  = Jumlah tiang pada deretan kolom

$D$  = Diameter tiang (m)

$S$  = Jarak antar tiang (diam hil 2,5D) (m)

$Pg$  = Kapasitas ijin tiang kelompok

$Pall$  = Kapasitas beban ijin tiang tunggal

$nt$  = Jumlah tiang dalam kelompok

$Qg$  = Daya dukung aksial (kN)

#### 4. Penulangan Tiang Tiang puncung persegi

$$A_{tiang} = F_b + n \cdot F_e \quad 2.17$$

$$P_{tiang} = \sigma b \cdot A_{tiang} \quad 2.18$$

Dimana :

$A_{tipe}$  = Luas tiang puncung persegi tunggal ( $m^2$ )

$F_b$  = Luas tang puncung tunggal ( $m^2$ )

$n$  = Jumlah tiang dalam 1 pile cap

$F_e$  = Luas taliangan dalam 1 tiang puncung persegi ( $m^2$ )

#### 2.5.5. Distribusi Beban Pada Tiang

Ketika sekelompok tiang puncung persegi dibebani dari sebuah kolom, maka beban yang diterima oleh kepala tiang dipindahkan ke setiap tiang. Untuk menghitung distribusi beban pada tiang puncang tersebut dapat dilakukan seperti berikut:

$$P_{max} = \frac{\sum V_n}{n} \pm \frac{My \cdot X_{max}}{ny \cdot \sum Y^2} \pm \frac{Wx \cdot F_{max}}{nx \cdot \sum Y^2} \quad 2.19$$

Dimana :

$P_{max}$  = Beban maksimum yang diterima tiap tiang

$\sum V_n$  = Total beban aksial

- $N_y$  = Jumlah tiang dalam satu sumbu Y  
 $N_x$  = Jumlah tiang dalam satu sumbu X  
 $N$  = Jumlah tiang  
 $M_x$  = Momen yang bekerja tegak lurus sumbu X  
 $M_y$  = Momen yang bekerja tegak lurus sumbu Y  
 $X_{max}$  = Absis maksimum tiang ke pusat tiang kelompok  
 $Y_{max}$  = Koordinat maksimum tiang ke pusat tiang kelompok  
 $\sum X^2$  = Jumlah kuadrat absis tiang  
 $\sum Y^2$  = Jumlah koordinat tiang

### 2.5.6 Kapasitas Kuat Dukung *Bored Pile* dari Hasil Sondir

Diantara perbedaan tes dilapangan, sondir atau *cone penetration test* (CPT). Banyak yang menghargai peran rekayasa geoteknik. *Cone penetration test* (CPT) atau sondir ini dapat juga mengklasifikasi lapisan tanah dan dapat memperkirakan kekuatan dan karakteristik dari tanah. Didalam perencanaan fondasi tiang, data tanah sangat diperlukan dalam merencanakan kapasitas daya dukung *bearing capacity* dari *bored pile* sebelum pembangunan dimulai, guna menentukan kapasitas daya dukung ulirimit dari fondasi tiang.

Untuk menghitung kuat dukung *bored pile* berdasarkan data hasil pengujian sondir dapat dilakukan dengan menggunakan :

#### a. Metode Aoki dan De Alenear

Daya dukung fondasi *Bored Pile* dinyatakan dengan rumus sebagai berikut:

$$Q_{ult} = (q_b \times A_b)$$

..... 2.20

Dimana :

$Q_{ult}$  = Kapasitas daya dukung *bored pile* (kN)

$q_b$  = Tahanan ujung sondir ( $\text{kN}/\text{m}^2$ )

$A_b$  = Luas penampang tiang( $\text{m}^2$ )

Aekici dan Alencar mengusulkan estimasi daya dukung akhir dari data Sondir. Daya dukung suatu satuan luas ( $q_b$ ) ditentukan sebagai berikut:

$$q_b = \frac{q_{ca}(\text{base})}{f_b} \quad 2.21$$

Keterangan :

$q_{ca}(\text{base})$  = Perlawanan kecius rata-rata 1,5D di atas

ujung tiang, 1,5D di bawah ujung tiang  
(kg/cm<sup>2</sup>)

$f_b$  = Faktor empirik yang tergantung pada tipe tanah

Tabel 2. 6Faktor Empiris  $f_b$

Tipe Tiang pancang persegi	$f_b$
Bored Pile	3,5
Baja	1,75
Beton Pratekan	1,75

(Sumber : Tini & Parsakh, 1999)

Saat menghitung kapasitas beban fondasi *bored pile* di Sondir, kapasitas beban penutup *bored pile* tidak diperhitungkan. Hal ini dikarenakan laluan geser tanah yang terjadi pada fondasi *bored pile* sangat rendah sehingga dianggap tidak ada. Untuk mendapatkan beban kerja aman tiang, beban kerja aman harus dibagi dengan faktor keamanan tertentu.

Untuk dasar tiang yang dibesarkan dengan  $d < 2 m$  :

$$Q_a = \frac{q_u}{2,5} \quad 2.22$$

Untuk dasar tiang tanpa pembesaran :

$$Q_a = \frac{q_u}{3} \quad 2.23$$

### b. Metode Schmertmann dan Notting ham (1975)

Kuat dukung ultimit neto ( $Q_u$ ), dihitung dengan Persamaan

$$Q_u = A_b f_b + A_s f_s \quad 2.24$$







Cara menentukan R dan I, sebagai berikut :

- A. Pada tanah lempung yang kaku dan mengalami konsolidasi terlebih dahulu, maka modulus tanah dianggap permanen di seluruh kedalam.

$$R = \sqrt[4]{\frac{EI}{Kh \times d}} \quad \dots \dots \dots \quad 2.35$$

- B. Untuk tanah lempung dan granular yang mengalami konsolidasi normal, maka modulus tanah menjadi tak permanen atau meningkat dengan linier di kedalaman tertentu.

$$T = \sqrt{\frac{E_p \times I}{n_h}} \quad \dots \dots \dots \quad 2.36$$

$$4T = 4 \times T \quad \dots \dots \dots \quad 2.37$$

Dimana :

$E_p$  = Modulus Elastisitas Tiang ( $\text{kN/m}^2$ )

$I$  = Momen Inersia ( $\text{m}^4$ )

$n_h$  = Koeffisien Modulus Variasi ( $\text{kN/m}^3$ )

$Kh$  = Modulus Reaksi Subgrade ( $\text{kN/m}^2$ )

$D$  = Diameter (m)

Agar mengetahui tanah akan runtuh sebab beban lateral, maka momen max harus dihitung terlebih dahulu. Jika  $M_{\max} > M_y$ , maka tanah tidak runtuh dan Hu dipersentek dari kekuatan bahan tiang dalam menahan beban momen.

$$M_{\max} = B \times \gamma \times L^3 \times K_p \quad \dots \dots \dots \quad 2.38$$

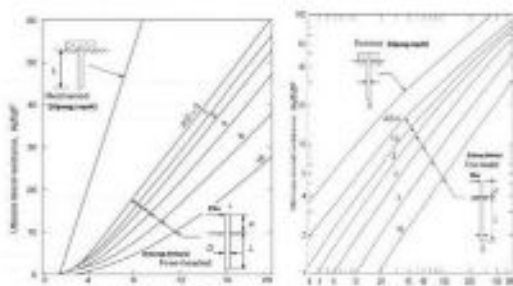
جامعة سلطان قابوسي للعلوم الإسلامية

a. Perhitungan daya dukung lateral fondasi metode Brom (1964)

Digunakan untuk menghitung maksimal tanah disebabkan oleh gaya lateral (*rigid pile*) atau (*elastic pile*). Berikut merupakan rumus untuk *elastic pile* pada kondisi lapisan tanah yang sumbu dan tanah kohesif :

$$Hu = \frac{2 My}{e + \frac{2f}{x}} \quad \dots \dots \dots \quad 2.39$$





(a)

(b)

Gambar 2.3 Defleksi dan mekanisme keruntuhan tiang ujungbebas (a) fondasi tiang pendek, (b) fondasi tiang panjang (Broms,1964)

- Untuk tiang pendek, dapat dihitung tahanan ultimate tiang terhadap beban *lateral* dengan Persamaan berikut:

$$M_{\text{max}} = H_u (0.5L + 0.75D) \quad .2.45$$

Dimana:

$H_u$  = beban *lateral* (kN)

$d$  = diameter tiang (m)

$c_a$  = koefisi tanah (kN/m<sup>2</sup>)

$L$  = panjang tiang (m)

$f$  = jarak momen maksimum dasar tiang (m)

Nilai-nilai  $H_u$  dapat diplot dalam grafik hubungan  $L/D$  dan  $H_e/c_a D^2$  ditunjukkan pada Gambar 2.3a.

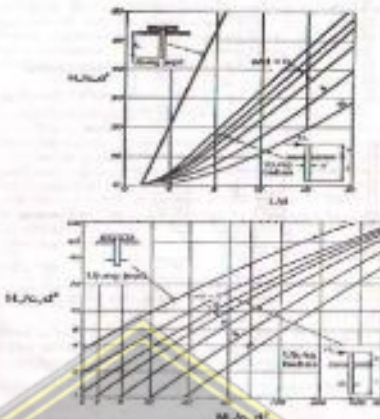
- sedangkan untuk tiang panjang  $H_u$  dapat dicari dengan Persamaan berikut :

$$H_u = \frac{2\pi f y}{1.50 + 0.5f} \quad .2.46$$

Dimana :

$M_y$  = momen leleh (kN-m)

$f$  = jarak momen maksimum dari pemukaan tanah (m)



Gambar 2-4 Grafik Tahanan Lateral Ultimit Tiang Pada Tanah Kohesif  
 (a) Tiang Pendek, (b) Tiang Panjang (Brauns, 1964).

\* Perhitungan lateral izin, sebagai berikut :

Tahanan momen ultimit (grafik) :

$$\frac{H_s}{D^4 \sigma_{c'v} \times k_p} = 2.47$$

Tabel 2.7 Nilai-nilai  $n_b$  untuk tanah granular ( $c = 0$ )

Kerapatan relatif ( $D_r$ )	Tidak padat	Sedang	Padat
Interval nilai A	100 – 300	300 – 1000	1000 – 2000
Nilai A digunakan	200	600	1500
$n_b$ , pasir kering atau lembab (Terzaghi) ( $\text{kN/m}^3$ )	2425	7275	19400
$n_b$ , pasir terendam air ( $\text{kN/m}^3$ )			
Terzaghi	1386	4850	11779
Reese dkk	5300	16300	34000

Tabel 2.8 Nilai-nilai  $n_b$  untuk tanah kohesif (Hadiyatmo, 2011)

Tanah	$n_b$ ( $\text{kN/m}^3$ )	Referensi





## 2.10 Waktu Penurunan

Waktu penurunan pada tanah harus diketahui untuk mengetahui solusi apa yang cocok untuk mempercepat penurunan tersebut, agar dalam pembangunan lebih aman dan tidak terjadi penurunan lagi. Salah satu cara untuk mempercepat penurunan adalah dengan menggunakan vertical drain. Berikut adalah rumus menghitung penurunan / settlement :

$$T = \frac{T_v \times H^2 \cdot 2}{C_s} \quad 2.55$$

Dimana :

$T$  = waktu penurunan

$T_v$  = faktor waktu (derajat konsolidasi rata-rata), pada tabel 2.10

$H^2$  = seluruh panjang lintasan fondasi (m)

$C_s$  = derajat konsolidasi ( $0.0045 \text{ m}^2/\text{dtc}$ )

Tabel 2.10 Derajat konsolidasi

$U_{sv} (\%)$	$T_v$
0	0
10	0,008
20	0,031
30	0,071
40	0,126
50	0,197
60	0,403
70	0,199
80	0,567
90	0,0848
100	$\infty$

(Sumber : Adi Mardani, 2014)

## 2.11 Perhitungan Penulungan

### a. Penulungan Pile Cap

- Menghitung rasio tulungan

$$\frac{M_u}{b \cdot d^2} = p \cdot 0,8 \cdot f_y \cdot (1 - 0,588 \frac{f_y}{f_c}) \quad 2.56$$

$$pb = \frac{0.8 \cdot fc'}{fy} \cdot 81 \cdot \frac{600}{600+fy}, g = 0.05 \quad 2.57$$

$$p_{\text{max}} = 0.7 \cdot pb \quad 2.58$$

$$p_{\text{min}} = \frac{1.4}{fy} \quad 2.59$$

Syarat :  $p_{\text{min}} < p < p_{\text{max}}$

- Menghitung luas tulangan

$$As = p \cdot b \cdot d_{\text{rekan}} \quad 2.60$$

- Menghitung diameter jarak dan tulangan

$$As_{\text{ul}} = \frac{1}{4} \cdot \pi \cdot D^2 \quad 2.61$$

Jumlah tulangan yang dibutuhkan  $As/As_{\text{tul}}$

$$S = \text{lebar n / tulangan} \quad 2.62$$

- Cek tinggi efektif ( $d_{\text{plakai}} > d_{\text{rencana}}$ )

Dipakai =  $h - \text{selimut beton} - \phi \text{ sengkang} - 1.5 \phi \text{ tulangan}$  ..... 2.63

- Kontrol terhadap pons 1 arah

$$Vc = \frac{1}{6} \sqrt{fc'} \times bw \times d, \text{ dengan } Vn \leq Vc \quad 2.64$$

$$\text{Maka, } \frac{Vn}{\phi} \leq \frac{1}{6} \sqrt{fc'} \times bw \times d \quad 2.65$$

Dimana :

$$bw = \text{lebar fondasi (m)}$$

$$d = h - d' + (\text{tinggi plat} - \text{selimut beton}) (\text{m})$$

$$\phi = 0.6$$

- Pons geser 2 arah

$$Vc = \left(1 + \frac{2}{3a}\right) 2 \times \sqrt{fc} \times bo \times d \quad 2.66$$

Dimana :

$$bo = 2(b0 + ho)(\text{m})$$

$$bo = hb, (\text{sisi panjang} / \text{sisi pendek kolom})(\text{m})$$

$$d = \text{tinggi efektif (m)}$$

### b. Penulangan *bored pile* (Karim, 2020)

- Menghitung eksentrisitas penulangan

$e = Mu / p_u$  ..... 2.67

- Menghitung gaya aksial nominal

$P_n \text{ perlu} = \frac{P_u}{\phi}$  ..... 2.68

- Menghitung tulangan yang akan dibutuhkan

$Ag = \frac{1}{4} \cdot \pi \cdot D^2$  ..... 2.69

$As = \frac{1}{4} \cdot \pi \cdot p \cdot D^2$  ..... 2.70

$As_{tul} = \frac{1}{4} \times \pi \times Dst^2 \times n$  ..... 2.71

$n = \frac{As}{As_{tul}}$  ..... 2.72

$Ast = \frac{1}{4} \times \pi \times Dst^2 \times n$  ..... 2.73

Dimana :

$Ag$  = luas penampang beton ( $\text{mm}^2$ )

$As$  = luas tulangan ( $\text{mm}^2$ )

$D$  = diameter fondasi (mm)

$Dst$  = diameter tulangan (mm)

$n$  = jumlah tulangan

$p$  = 0,0117

- Perhitungan kekuatan beban aksial max

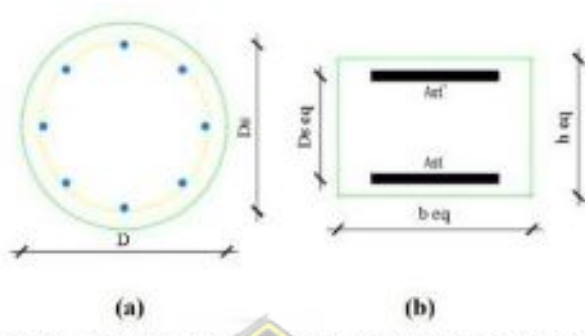
$\phi P = 0,8 \cdot \phi \left( 0,8 \times f'_c (Ag - As) \right) + (f_y \times Ast)$  ..... 2.74

$P_{n_{max}} = P / 0,8 > P_u$  ..... 2.75

- Perhitungan kekuatan penampang

$H_{45v} = 0,8 h$  ..... 2.76

$h$  adalah diameter kolom bulat



Gambar 2. 5 (A) Penampang Lingkaran , (B) Penampang Persegi  
<http://eprints.umm.ac.id>

$$L_{ekar} = \frac{\pi/4 \times H \times D^2}{H \text{ cekar}} \quad 2.77$$

Luas penampang total  $A_s'$

$$A_s' = A_s = \frac{1}{2} \times A_s \quad 2.78$$

$d_{tulang beton}$  = selimut beton + 0.5D tulangan utama + Sengkang ... 2.79

$$D_s = D - 2d' \text{ kolom bundar} \quad 2.80$$

$$D_{eq} = 2/3 \times D_s \quad 2.81$$

$$d'_{ekar} = h_{ekar} - D_{eq}/2 \quad 2.82$$

- Cek tegangan tekan

$$d'_{ekar} = h_{ekar} + \frac{h_{ekar} - D_{eq}}{2} \quad 2.83$$

$$C_b = \frac{600}{600+f_y} \times d_{ekar} \quad 2.84$$

$$Ab = 0.85 \times C_b \quad 2.85$$

$$f_s = \frac{0.003 \times f_y \times (d_{ekar} - C_b)}{d_{ekar}} \quad 2.86$$

Batasnya adalah  $f_y$  rencana.

- Perhitungan axial balance

$$P_u = (0.85 \cdot f_c' \cdot Ab \cdot b) + (A_s^2 \cdot f_s^2) - (A_s \cdot f_y) \quad 2.87$$

Syarat  $\phi P_u \geq P$

- c. Perhitungan tulangan sengkang (Handri. Dkk, 2019)
  - Menghitung  $H$  ekuivalen, sesuai dengan Persamaan
  - Menghitung  $B_{min}, b_{min} = A_g / \text{hekit} \quad 2.88$

• Menghitung luas penampang ( $A_g$ ) .....	2.89
• Menghitung luas penampang sengkang	
$A_v = \frac{1}{4} \times \pi \times D^2 \times \text{jumlah Sengkang}$ .....	2.90
• Menghitung $V_n_{\text{puk}} = V_u / 0,8$ .....	2.91
• Menghitung $V_c = \frac{1}{4} \times (1 + \frac{8u}{14 \times A_g}) \times 0.85 \times f_c^{1.5} \times b_w \times d$ .....	2.92
• Menghitung VS = $V_n_{\text{puk}} - V_c$ .....	2.93
• Menghitung $\phi V_c = V_c / 0.75$ .....	2.94

## 2.12 Pemodelan Menggunakan Software

Pada penyelesaian tugas akhir ini penulis akan menggunakan software SAP2000 V.14 dan software PLAXIS V 8.6. Berikut adalah penjelasannya.

### a. SAP2000 V.14

Analisa pembebanan pada Proyek Pembangunan Gedung Fraksi DPRD Kotus diperhitungkan dengan menggunakan aplikasi SAP2000 V.14. Software SAP2000 V.14 merupakan program aplikasi yang akan digunakan untuk menghitung pembebanan pada struktur atas bangunan dalam perencanaan fondasi yang akan direncanakan.

Software ini dapat digunakan untuk merencanakan gedung, jembatan, tower, dll. Dan dalam merencanakannya dapat menggunakan material baja dan beton sesuai dengan kebutuhan. Program ini sudah lengkap dan mudah digunakan karena fitur-fitur di dalamnya sudah sesuai dengan apa yang ingin kita rencanakan. Output dari program ini berupa momen, gaya geser, serta gaya normal, maka dari output tersebut akan mendapatkan beban terbesar dari kolom-kolom perencanaan yang akan digunakan dalam perencanaan fondasi.

### b. PLAXIS V.8.6

Plaxis merupakan media yang digunakan untuk menganalisis ketebalan tanah dengan mengaplikasikan elemen sehingga kita dapat

memperkirakan kejadian yang nyata. Dimana pada program ini menyediakan berbagai analisa yang dapat digunakan. Namun sayangnya program ini jarang dikenal oleh anak teknik sipil karena program ini digunakan untuk masalah geoteknik saja, tetapi dalam pekerjaan sipil juga tidak dapat terlepas pada masalah geoteknik, bisa berupa tanah ataupun batuan.

Perhitungan penurunan yang terjadi pada perencanaan fondasi akan dihitung secara manual dan dihitung menggunakan *software* *PLAXIS V 8.6*. Dimana *software* ini merupakan program aplikasi analisa geoteknik yang dapat menganalisa kestabilan tanah. Program ini dapat menganalisa penurunan tanah, galian, tanggul, dan timbunan tanah. Pada perencanaan kali ini plaxis digunakan untuk menghitung penurunan yang terjadi pada perencanaan fondasi, dan dijadikan pembanding dengan perlakuan manual.



## BAB III

### METODOLOGI

#### 3.2 Metode Persiapan

##### 3.1.1 Pendahuluan

Tujuan dari penelitian ini adalah untuk mengetahui beban fondasi menggunakan tipe fondasi tiang pancang persegi dan bored pile. Pada proyek Pembangunan Gedung Fraksi DPRD Kudus terletak di Jl. R. Agil Kusumadya No. 44, Getas, Getas Pejaten, Kec. Kota Kudus, Kabupaten Kudus, Jawa Tengah 59343. Proyek Pembangunan Gedung Fraksi DPRD Kudus terdiri dari 4 lantai. Penyelesaian tugas akhir ini bertujuan untuk menganalisa beban bangunan dengan menggunakan aplikasi SAP 2000v.14. Hasil dari pemodelan di software SAP 2000v.14 akan mendapatkan beban terbesar pada bangunan serta reaksi-reaksi pada kolom dan balok akibat beban diatasnya. Untuk menghitung nilai penurunan fondasi menggunakan perhitungan manual dan software PLAXIS V 8.6.

##### 3.1.2 Pengumpulan Data

Dalam penyusunan tugas akhir, setelah prosedur pengumpulan data sekunder berupa data Sondir dan gambar denah fondasi, yang digunakan sebagai perhitungan fondasi. Untuk pengujian data sondir ada dua titik. Berdasarkan dua titik uji sondir ditemukan letak kedalaman tanah keras ( $qc > 150 \text{ kg/cm}^2$ ). Berikut adalah data hasil dari titik uji sondir.

Tabel 3.1 Hasil Titik Uji Sondir

No	Titik	Kedalaman (m)	$qc$ ( $\text{kg/cm}^2$ )	JPH ( $\text{kg/cm}^2$ )	keterangan
1	S.1	20,00	175,00	1576,00	Ditemukan
2	S.2	20,00	38,00	1150,00	Tidak ditemukan

(Sumber : Dokumen CV. Daya Cipta Mandiri,2021)

### 3.1.3 Lokasi Proyek

Proyek Pembangunan Gedung Fraksi DPRD Kabupaten Kudus di Jl. R. Agil Kusumadaya No. 44, Getas, Getas Pejaten, Kec. Kota Kudus, Kabupaten Kudus, Jawa Tengah 59343.



Gambar 3.1 Denah Lokasi Pembangunan Gedung Fraksi DPRD Kabupaten Kudus

### 3.1.4 Data Umum Proyek

Data-data umum pada Proyek Pembangunan Gedung Fraksi DPRD Kabupaten Kudus sebagai berikut :

Tabel 3.2 Data Umum Proyek

a. Nama Proyek	:	Pembangunan Gedung Fraksi DPRD Kudus.
b. Lokasi Proyek	:	Jl. R. Agil Kusumadaya No. 44, Getas, Getas Pejaten, Kec. Kota Kudus, Kabupaten Kudus, Jawa Tengah 59343
c. Pemilik Proyek	:	Sekretariat DPRD Kudus
d. Nilai Kontrak	:	Rp. 4.828.030.000,-
e. Sumber Dana	:	Pemerintah Kabupaten Kudus

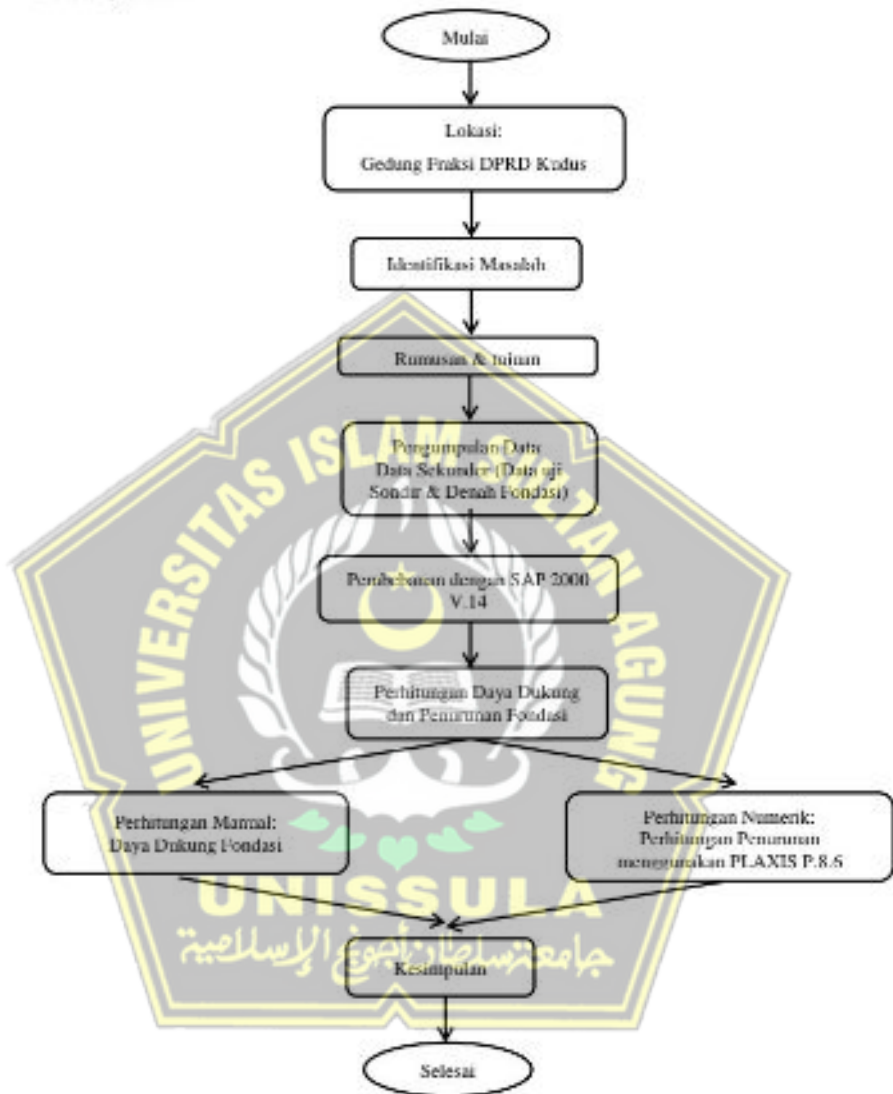
f.	Waktu Pelaksanaan	:	150 (Seratus lima puluh) Hari Kalender
g.	Konsultan Perencana	:	CV. Daya Cipta Mandiri
h.	Konsultan Manajemen Konstruksi	:	CV. Weganda Sri Cahya
i.	Kontraktor Pelaksana	:	CV. Simpatik Karya Mandiri

Data-data spesifikasi tanah pada Pembangunan Gedung Fraksi DPRD Kabupaten Kudus sebagai berikut :

Tabel 3.3 Data Teknis

a.	Fondasi	:	Trang pancang persegi K400
b.	Kolom	:	Beton Bertulang D 60x60 K300
c.	Balok	:	Beton Bertulang K300
d.	Ring Balk	:	Beton Bertulang K300
e.	Atap	:	Dak Beton Bertulang K300

### 3.2. Bagan Alir



### 3.3 Permodelan menggunakan Program SAP

Perhitungan beban bangunan menggunakan aplikasi SAP 2000 v.14. berikut langkah-langkahnya:

- a. Model frame 3D, *new model*, garis satuan menjadi kN, m, C lalu klik 3D model.
- b. Mengatur koordinat, klik kanan, lalu klik *Edit Grid data*
- c. Lalu klik *define - materials - modify*
- d. Klik *define - section properties - frame section* –lalu pilih bahannya karena pakai beton jadinya pilih *concrete*.
- e. Lalu pilih bentuk sesuai kebutuhan dan klik *concrete reinforcement*
- f. Untuk plat, klik *Define - section properties - area section - modify*
- g. Setelah bahan dan material ditentukan, lalu seleksi batang sesuai dengan tipe materialnya, *Assign - Frame Section*, lalu pilih propertinya
- h. Klik *define - load patterns* – lalu muncul dialognya, dan isi sesuai beban yang akan di input
  - 1.4 D
  - 1.2 D + 1.6 L
  - 1.2 D + L + RSX
  - 1.2 D + L + RSY
  - 0.9 D + RSX
  - 0.9 D + RSY
- i. Selanjutnya membuat kombinasi beban yang akan digunakan berdasarkan SNI 1727:2013 : 11 :
  - 1.4 D
  - 1.2 D + 1.6 L
  - 1.2 D + L + RSX
  - 1.2 D + L + RSY
  - 0.9 D + RSX
  - 0.9 D + RSY
- j. Untuk pembebanan balok, seleksi dulu kemudian dibebani, klik *Assign- frameload - distributed*
- k. Untuk beban mati dan hidup tambahan pada plat, seleksi plat yang akan dibebani, klik *assign - area load - uniform to frame*
- l. Masukkan beban gempa respon spektrum sesuai data yang diambil dari website [http://puskim.pu.go.id/Aplikasi/desain\\_spektra\\_indonesia](http://puskim.pu.go.id/Aplikasi/desain_spektra_indonesia) dan juga SNI 1726 : 2019. Caranya klik *define - functions - respons*

*spectrum*, pilih IBC2006

- m. Klik *define - load cases- modify RSX dan RS*
- n. Setelah semua data di input, klik *Analyze – Run Analyze – ok*

### 3.4 Permodelan menggunakan Program Software Plaxis 8.2

Situasi yang terjadi di lapangan disimulasikan dengan program *Plaxis 8.2*.

Hal ini dimaksudkan untuk mendapatkan hasil perhitungan pada program *Plaxis 8.2* sebagai cerminan dari kerja nyata di lapangan.

Tahapan pengeraian pada program *plaxis 8.2* meliputi:

Tahap 1 : *Plaxis 8.2 → new file → Input data*

Tahap 2 : Pendefisian dan input parameter diantaranya meliputi parameter tanah, *vertical drain*, timbunan, perkerasan, dan *service load*.

Tahap 3 : Pembentukan mesh secara keseluruhan

Tahap 4 : *Initial condition*: menyatakan kondisi asli tanah perlapisan dan tinggi muka air tanah

Tahap 5 : Menonaktifkan timbunan tanah yang berada pada tanah asli

Tahap 6 : K0 Prosedur → perbarui, kemudian hitung

Tahap 7 : Aktifkan timbunan tiap 1 m

Tahap 8 : Aktifkan timbunan tiap 2 m

Tahap 9 : Melakukan tahap 6 sampai tahap 8 sampaikan timbunan 33 m

Tahap 10 : Aktifkan perkerasan

Tahap 11 : Aktifkan pembebanan

Tahap 12 : Konsolidasi selama 1 tahun

Tahap 13 : Konsolidasi selama 3 tahun

Tahap 14 : Konsolidasi selama 10 tahun

Tahap 15: Perhitungan *safety factor*

### 3.5 Metode Perhitungan

#### 3.5.1 Perhitungan Daya Dukung Ultimit Fondasi

Berdasarkan persamaan 2.1 dan 2.2

$$Q_u = Q_p + Q_s$$

$$Q_{all} = Q_u / SF$$

#### 3.5.2 Perhitungan Daya Dukung Fondasi Metode Meyerhoff

Berdasarkan Persamaan 2.6 (Meyerhof)

$$Q_s = (q_c \times A_b/3) + (JHP \times O/5)$$

#### 3.5.3 Perhitungan Efisiensi Daya Dukung Fondasi

a. *Tiang pancang persegi*

Berdasarkan Persamaan 2.13 (Converse-Labare)

$$Eg = 1 - \left[ \frac{(n-1).m + (m-1).n}{90.m.n} \right] \theta$$

b. *Bored Pile*

Berdasarkan Persamaan 2.29 (Converse-Labare)

$$\Pi = 1 - \left[ \frac{(n-1)+(m-1)n}{90.m.n} \right] \times \theta$$

#### 3.5.4 Menentukan Banyak Tiang Fondasi yang Dibutuhkan

Berdasarkan Persamaan 2.32

$$N_p = \frac{V}{Q_{tiang}}$$

#### 3.5.5 Perhitungan Daya Dukung Lateral Metode Broms

Berdasarkan Persamaan 2.39 (Broms, 1964)

$$H_u = \frac{2 My}{e + \frac{zf}{z}}$$

#### 3.5.6 Perhitungan Waktu Penurunan

Berdasarkan Persamaan 2.55

$$T = \frac{T_w \times H^6 \cdot Z}{C_v}$$

## **RAB IV** **HASIL DAN PEMBAHASAN**

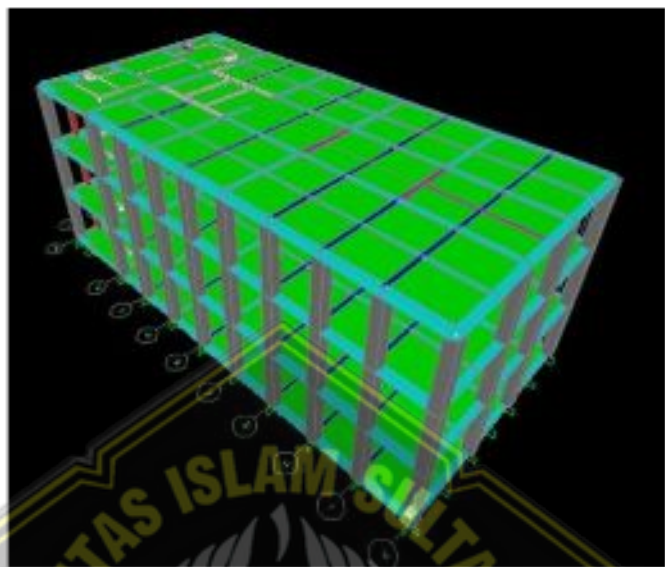
### **4.1 Tinjauan Umum**

Bab ini berisi tentang analisis Data yang diperoleh sebagai hasil pemrosesan data real estat untuk pekerjaan konstruksi gedung Fraksi DPRD Kudus. Sebelumnya fondasi pada perencanaan proyek tersebut menggunakan minipile ukuran 20x20 cm. Sedangkan pada tugas akhir ini kami akan merencanakan ulang fondasi *tiang pancang persegi* dengan ukuran 50x50 cm dan *bored pile* dengan ukuran 50 cm. Data tersebut dibuat untuk menganalisa daya dukung dan penurunan fondasi dengan menggunakan data survey tanah berupa hasil uji sondir. Pada perhitungan daya dukung fondasi menggunakan metode *meyerhoff* dan metode *Converse-labarre* untuk perhitungan daya dukung kelompok, perhitungan penurunan fondasi secara manual dengan metode *vesic* dan juga menggunakan *software PLAXIS V.8.6*.

Untuk mengetahui beban maksimum yang di tanggung oleh fondasi yang direncanakan, kami akan menggunakan perhitungan beban struktur dengan *software SAP 2000*. Yang mengacu pada SNI 1727-2020 mengenai beban minimum mengenai beban hidup gedung, SNI 1726-2019 mengenai beban gempa dan PPIUG 1983 tentang peraturan pembahanan untuk behan mati.

### **4.2 Design Struktur Atas dengan Software SAP 2000 v.14**

Besar gaya pada struktur atas yang ada pada bangunan akan di design menggunakan *software SAP 2000 v.14*. Gaya yang didapat digunakan untuk perhitungan selanjutnya pada perencanaan fondasi *tiang pancang persegi* dan *bored pile*.



Gambar 4.1 Desain struktur atas aplikasi SAP v.14

#### 4.3 Design dan Pembahasan Struktur

Berikut adalah data yang digunakan :

- Berat jenis beton bertulang =  $24 \text{ kN/m}^3$
- Tebal plat lantai dana tap = 12 cm
- Mutu beton = K-300
- Mutu baja tulangan = fy 400 MPa

Berikut adalah beban mati yang digunakan mengacu PPIUG 1983

##### a. Beban mati plat lantai

- Pasir (1cm) =  $0.01 \times 1600 \text{ kg/m}^3 = 16 \text{ kg / m}^2$
- Adukan semen (3cm) =  $0.03 \times 21\text{kg/m}^3 = 0.63 \text{ kg / m}^2$

• Plat Lantai	$2400 \times 12$	$288 \text{ kg} / \text{m}^2$
• Keramik (1cm)	$= 0,01 \times 24 \text{ kg/m}^3$	$= 0,24 \text{ kg} / \text{m}^2$
• ME	$= 25 \text{ kg} / \text{m}^2$	$= 25 \text{ kg} / \text{m}^2$
• Plafond & penggantung	$= 18 \text{ kg} / \text{m}^2$	$= 18 \text{ kg} / \text{m}^2$
TOTAL		$= 347,87 \text{ kg} / \text{m}^2$

b. Beban mati plat atap

• ME	$= 25 \text{ kg/m}^2$	$= 25 \text{ kg/m}^2$
• Plafond & penggantung	$= 18 \text{ kg/m}^2$	$= 18 \text{ kg/m}^2$
• Penutup Atap	$= 40 \text{ kg/m}^2$	$= 40 \text{ kg/m}^2$
TOTAL		$= 83 \text{ kg/m}^2$

Berikut adalah beban hidup yang digunakan mengacu pada SNI 1727-2020, terlihat pada Tabel 4.1.

Tabel 4.1 Beban Hidup

Humian	Merata ( $\text{T/m}^2$ )	Terpusat (T)
Gedung Perkantoran :		
Ruang arsip dan komputer harus dirancang untuk beban yang lebih berat berdasarkan pada perkiraan humian lobi dan koridor lantai pertama	47,9	89,0
Kantor		
Koridor diatas lantai pertama	24,0	89,0
	38,3	89,0

(sumber : SNI 1727-2020)

Berikut adalah behan gempa yang digunakan mengacu pada SNI 1726 : 2019, dapat dilihat Tabel 4.2 hingga Tabel 4.6

Tabel 4.2 Kategori Resiko

Kegunaan	Kategori Resiko
Semua gedung dan struktur lain, kecuali yang termasuk dalam kategori resiko I, II, III, dan IV termasuk, tetapi tidak dibatasi untuk: <ul style="list-style-type: none"><li>➢ Perumahan</li><li>➢ Rumah toko dan rumah kantor</li><li>➢ Pasar</li><li>➢ Gedung Perkantoran</li><li>➢ Gedung apartemen dan Rumah susun</li><li>➢ Pusat perbelanjaan mall</li><li>➢ Bangunan Industri</li><li>➢ Fasilitas manufaktur</li><li>➢ Pabrik</li></ul>	II

(Sumber : SNI 1726:2019)

Tabel 4.3 Faktor Keutamaan Gempa

Kategori risiko	Faktor keutamaan gempa (le)
I / II	1
III	1.25
IV	1.5

(Sumber : SNI 1726:2019)

Tabel 4. 4 Kategori Desain Seismik Berdasarkan Nilai  $S_{RS}$

Nilai SDS	Kategori risiko	
	I atau II atau III	IV
$SDS < 0.167$	A	A
$0.167 \leq SDS \leq 0.33$	B	C
$0.33 \leq SDS \leq 0.50$	C	D
$0.50 \leq SDS$	D	D

(Sumber : SNI 1726 : 2019)

Tabel 4. 5 Kategori Desain Seismik Berdasarkan Nilai  $SD1$

Nilai SD1	Kategori risiko	
	I atau II atau III	IV
$SD1 < 0.067$	A	A
$0.067 \leq SD1 \leq 0.133$	B	C
$0.133 \leq SD1 \leq 0.20$	C	D
$0.20 \leq SD1$	D	D

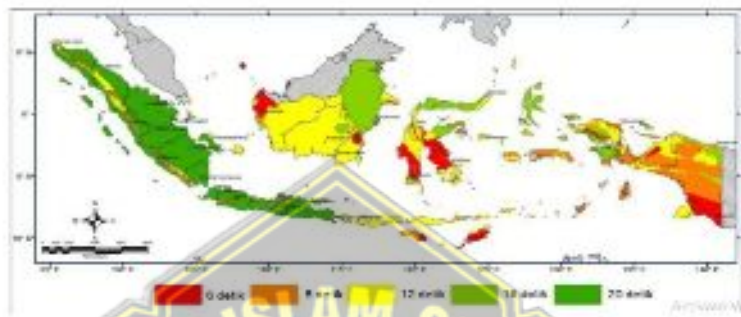
(Sumber : SNI 1726 : 2019)

Tabel 4.6 Faktor Reduksi Gempa

Sistem penahanan gaya seismik	Koefisien modifikasi respons $R^d$	Faktor kuat lemah sistem $\Omega_d^2$	Faktor pembesaran defleksi $C_d^b$	Batasan sistem struktur dan batasan tinggi struktur $h_s(m)^c$				
				B	C	D <sup>d</sup>	E <sup>d</sup>	F <sup>e</sup>
Rangka beton bertulang pemikul momen khusus	8	3	5,5	TB	TB	TB	TB	TB

(Sumber : SNI 1726 : 2019)

Untuk menentukan periode gempa dapat dilihat pada Gambar 4.2 dengan menggunakan peta periode pada SNI 1726:2019, karena perencanaan ada di Kudus jadi menggunakan periode sebesar 6 detik.



Gambar 4.2 Peta Periode Gempa (SNI 1726 : 2019)

Untuk zona wilayah gempa didapatkan dari website :

[http://puskimnpu.go.id/Aplikasi/desain\\_spektra\\_ij.idonesia](http://puskimnpu.go.id/Aplikasi/desain_spektra_ij.idonesia), dan diperoleh pada Gambar 4.3



Gambar 4. 3 Nilai Respon Spektrum

([http://puskimnpu.go.id/Aplikasi/desain\\_spektra\\_idonesia](http://puskimnpu.go.id/Aplikasi/desain_spektra_idonesia))

Setelah semua data pembebanan dimasukkan pada SAP2000 v.14, maka didapatkan hasil *output joint reaction* dilihat pada Tabel 4.7

Tabel 4.7 Hasil *Output Joint Reaction*

Joint Text	OutputCase Text	Casetype Text	F1	F2	F3	M1	M2	M3
			kN	kN	kN	kNm	kNm	kNm
60	0.9D + QY	Combination	-41,246	-123,873	2436,542	180,8597	-51,6043	-0,1409
64	1.2D + L + QX	Combination	-62,632	-136,377	3605,606	174,6237	-76,6144	-0,6131
64	1.2D + L + QY	Combination	-62,632	-136,377	3605,606	174,6237	-76,6144	-0,6131
64	1.2D + L + QZ	Combination	-59,151	-141,936	3651,722	178,0903	-65,9467	-0,6301
64	1.4D	Combination	-49,845	-156,75	4138,481	196,8257	-74,6002	-0,7024
68	1.2D + L + UX	Combination	52,658	167,295	2533,79	211,8381	48,4214	-0,2209
68	1.2D + L + QY	Combination	52,658	167,295	2455,793	211,8381	48,4214	-0,2209
68	1.2D + L + QZ	Combination	55,613	168,318	2588,461	213,3165	57,6764	-0,2143
70	1.2D + L + QY	Combination	34,687	167,129	3279,554	217,08	66,3351	0,1825
70	1.2D + L + QX	Combination	-54,687	-167,127	3273,284	217,08	-66,3351	-0,1825
70	1.2D + L + QZ	Combination	-52,037	-168,303	3283,802	218,7163	-56,7111	-0,1772
70	1.4D	Combination	41,112	159,047	2952,07	244,0113	64,8948	0,2157
80	1.4D	Combination	-39,307	-152,758	1791,115	298,3742	-84,6974	-0,2052
84	1.2D + L + QY	Combination	-22,588	-5,259	3343,046	531,5364	-218,9092	-0,7034
84	1.2D + L + QX	Combination	-22,588	-5,259	3343,046	529,6364	-218,9092	-0,7034
84	1.2D + L + QY	Combination	15,858	4,132	3924,55	532,9762	201,5403	-0,655
84	1.2D + L + QZ	Combination	15,858	4,132	3124,55	532,9762	201,5403	-0,655
84	1.2D + L + QZ	Combination	-20,097	5,327	4823,598	855,2976	-328,496	-0,7145
88	1.2D + L + QZ	Combination	19,462	4,189	4182,106	855,2162	323,9051	-0,7191

Dari hasil output joint reaction software Sap2000 V.14, tabel 4.7 dihasilkan beban maksimum sebesar 859,2162 kN.

#### 4.4 Analisa Daya Dukung Fondasi Tiang pancang persegi

Untuk menganalisa daya dukung fondasi *min pile* didapat Data fondasi *tiang pancang persegi* sebagai berikut:

$$\text{Diameter (D)} = 50 \text{ cm}$$

$$\text{Keliling (O)} = 4 \times 5 =$$

$$= 4 \times 50$$

$$\text{جامعة سلطان قابو الإسلامية} \\ \text{UNISSULA}$$

$$= 200 \text{ cm}$$

$$\text{Luas Penampang (A)} = 8 \times 8$$

$$= 50 \times 50$$

$$= 2,500 \text{ cm}^2$$

$$\text{Kedalaman} = 11,4 \text{ m}$$

Tabel 4.8 data tanah

Kedalaman / Depth (m)	Conus Resistant (kg / cm <sup>2</sup> )	Conus + Cleep Resistant (kg / cm <sup>2</sup> )	Lokal Friction (kg / cm <sup>2</sup> )	Total Friction (kg / cm)
10.8	9	11	2	498
11.0	65	75	10	518
11.2	100	115	15	548
11.4	110	125	15	578
11.6	50	58	8	594
11.8	22	27	5	604
12.0	30	38	8	620
12.2	40	50	10	640
12.4	50	60	10	660
12.6	48	57	9	678
12.8	55	65	10	698
13.0	35	42	7	712
13.2	37	44	7	726
13.4	55	65	10	746
13.6	60	75	15	776
13.8	39	48	7	790
14.0	20	25	5	800
14.2	28	30	7	814
14.4	32	40	8	830
14.6	19	24	5	840
14.8	16	20	4	848
15.0	15	19	4	856
15.2	25	30	6	866
15.4	28	35	7	880
15.6	37	43	6	892
15.8	43	54	11	914
16.0	60	70	10	934

#### 4.4.1 Daya Dukung Fondasi Tiang pancang persegi Metode Mayerhoff (1976)

Untuk menghitung daya dukung fondasi tiang pancang persegi Metode Mayerhoff (1976) dengan kedalaman tanah 11.4 m, berdasarkan Persamaan (2.6) adalah sebagai berikut :

- ❖ Perhitungan daya dukung ujung tiang berdasarkan Persamaan (2.6)

$$\begin{aligned} Q_p &= q_c \times A_h / 3 \\ &= 110 \times 2.500 / 3 \\ &= 91.666,67 \text{ Kg} \end{aligned}$$

- ❖ Perhitungan daya dukung selimut fondasi tiang pancang persegi berdasarkan Persamaan (2.6)

$$Q_s = JHP \times O/5$$

$$= 112 \times 200/5$$

$$= 4.480 \text{ kg}$$

- ❖ Perhitungan daya dukung ultimat fondasi berdasarkan Persamaan (2.1)

$$Qu = Qp + Qs$$

$$= 91.666,67 + 4.480$$

$$= 96.146,67 \text{ kg}$$

Untuk hasil perhitungan daya dukung fondasi metode Mayerhoff selanjutnya dapat dilihat pada Tabel 4.8 di bawah ini.

Tabel 4.9 Hasil Daya Dukung Fondasi *Tiang pancang persegi* Metode Mayerhoff

Dept	Qs	Ab	C	JHP	Qb(kg)	QS (kg)	Qu(kg)	Quult (t)
0	0	2500	200	0,00	0,00	0,00	0,00	0,00
2	14	2500	200	12,00	11666,67	480,0	12146,67	12,14667
6	13	2500	200	58,00	10823,33	2320,0	13153,33	13,15333
11,4	110	2500	200	112,00	91666,67	4480,0	96146,67	96,14667

#### 4.4.2 Perhitungan Jarak Antar Fondasi *Tiang pancang persegi* dan Jarak As ke Tepi

Perhitungan jarak antar fondasi *tiang pancang persegi* berdasarkan

Persamaan (2.11) adalah sebagai berikut :

$$S \geq 3D - 3, 0,5 - 1,5 \text{ m}$$

#### 4.4.3 Kebutuhan Jumlah Fondasi *Tiang pancang persegi*

Untuk menentukan banyaknya fondasi yang dibutuhkan dalam kelompok tiang berdasarkan Persamaan (2.10) adalah sebagai berikut :

$$\text{Bahan (p)} = 859,216 \text{ Kn} = 87,6156 \text{ t}$$

$$n = \frac{p}{Q_{ult}} = \frac{87,6156}{38,4586} = 2,2731 \text{ dibulatkan menjadi } 3 \text{ buah}$$

#### 4.4.4 Efisiensi Duya Dukung Tiang

Perhitungan efisiensi daya dukung tiang dengan menggunakan metode Converse-Labarre berdasarkan Persamaan (2.13) adalah sebagai berikut:

Perhitungan efisiensi tiang dengan jumlah rencana 3 buah

$$\theta = \text{Arc} \tan \frac{D}{S} = \text{Arc} \frac{0,5}{1,5} = 18,43$$

$$n = 2 ; m = 2$$

$$\begin{aligned} Eg &= 1 - \left[ \frac{(n-1)m + (m-1)n}{90.m.\pi} \right] . \theta \\ &= 1 - \left[ \frac{(2-1).2 + (2-1).2}{90.2.2} \right] . 1.843 \\ &= 0,79 = 79\% \end{aligned}$$

$$\begin{aligned} Qg &= n. q_{p_{\text{max}}} \times Eg \\ &= 3 \cdot 38,45867 \times 0,79 \\ &= 91,7432 \text{ t} \end{aligned}$$

Didapatkan  $P$  (87,6156 t)  $\leq Qg$  (91,7432 t), maka **AMAN**

#### 4.4.5 Penurunan Tiang Tunggal

Perhitungan penurunan tiang tunggal menurut Vesic, berdasarkan Persamaan (2.48), adalah sebagai berikut:

$$\begin{aligned} F_c' &= 24,9 \text{ kN} \\ \text{Beban yang diterima ujung tiang (Qwp)} &= 91,67 \text{ kN} \\ \text{Beban yang diterima selimut tiang (Qws)} &= 4,48 \text{ kN} \\ \text{Modulus elastisitas tiang (Ep)} &= 23452,95 \text{ MPa} = 2345295 \text{ t} \\ \text{Distribusi tahanan sepanjang tiang (z)} &= 0,5 \\ \text{Tahanan ujung batas tiang (Qp)} &= 366,6667 \text{ t} \\ \text{Koefisien empiris (Cp)} &= 0,02 \\ \text{Diameter tiang (D)} &= 0,5 \text{ m} \\ \text{Panjang tiang (L)} &= 11,4 \text{ m} \\ E_b &= 0,25 \text{ m} \end{aligned}$$

E <sub>s</sub>	= 50000
Kapasitas tahanan ultimit (Q <sub>s</sub> )	= 4,48
I <sub>ws</sub>	= 3,432
P	= 2

Berikut adalah perhitungan penurunan fondasi akibat batang berdasarkan Persamaan (2.49)

$$S_1 = \frac{(Q_{wp} + \epsilon \times Q_{ws}) \times l}{E_s \times E_p} = \frac{(91,67 + 0,5 \times 4,48) \times 11,4}{0,25 \cdot 2345295} = 0,0018258$$

Berikut adalah perhitungan penurunan fondasi akibat beban di ujung, berdasarkan Persamaan (2.50)

$$S_2 = \frac{Q_{wp} \times C_p}{D \times q_p} = \frac{91,67 \times 0,02}{0,5 \times 366,6667} = 0,01$$

$$I_{ws} = 2 + 0,35 \sqrt{\frac{l}{D}} = 2 + 0,35 \sqrt{\frac{11,4}{0,5}} = 3,432$$

Berikut adalah perhitungan penurunan fondasi akibat beban yang disalurkan sepanjang selimut, berdasarkan Persamaan (2.51)

$$\begin{aligned} S_3 &= \frac{Q_{wp}}{P.I.} \times \frac{D}{E_s} \times (1 - \mu s^2) \times I_{ws} \\ &= \frac{91,67}{2 \times 11,4} \times \frac{0,5}{50000} \times (1 - 0,2^2) \times 3,432 = 0,000006474 \end{aligned}$$

Untuk perhitungan total penurunan, berdasarkan Persamaan (2.48) adalah sebagai berikut :

$$\begin{aligned} S_t &= S_1 + S_2 + S_3 \\ &= 0,0018258 + 0,01 + 0,000006474 \\ &= 0,01189059 \text{ m} = 1,1 \text{ cm} \end{aligned}$$

Penurunan yang diizinkan adalah  $S_{max} = 10\% \times D = 10\% \times 50 = 5 \text{ cm}$

Maka penurunan total tiang total tunggal AMAN, karena  $1,1 < 5 \text{ cm}$

#### 4.4.6 Penurunan Kelompok Tiang

Perhitungan penurunan kelompok tiang fondasi *tiang pancang persegi* menurut Persamaan (2.53) adalah sebagai berikut :

$$Sg = St \sqrt{\frac{b'}{B}} = 1,1 \sqrt{\frac{2,5}{0,5}} = 2,65 \text{ cm}$$

#### 4.4.7 Waktu Penurunan Tanah Fondasi *Tiang pancang persegi*

Perhitungan penurunan tanah pada fondasi tiang pancang persegi, berdasarkan Persamaan (2.55) adalah sebagai berikut:

Faktor waktu (Tv) = 0,0848

Derajat konsolidasi (Cv) = 0,0045

$$T = \frac{Tv \times D^2}{Cv} = \frac{0,0848 \times 11,4^2}{0,0045} = 24490,24 \text{ jam} = 2,795 \text{ tahun}$$

Jadi, waktu penurunan fondasi *tiang pancang persegi* adalah seluruh 2,795 tahun.

#### 4.4.8 Perhitungan Daya Dukung Lateral Fondasi *Tiang pancang persegi*

Perhitungan daya dukung lateral fondasi *tiang pancang persegi* berdasarkan Persamaan (2.46) adalah sebagai berikut :

Diketahui :

$$Y = 1,6 \text{ t} = 15,69 \text{ kN/m}^2$$

$$\Theta = 28,32^\circ$$

$$kp = \frac{1}{ka} = \frac{1}{\tan(45 \frac{\Theta}{2})} = \frac{1}{\tan(45 \frac{28,32}{2})} = \frac{1}{0,4125} = 2,42$$

$$Fe' = 24,9 \text{ Mpa}$$

$$D = 0,5 \text{ m}$$

$$nb = 150 \text{ kN/m}^3$$

$$L = 11,4 \text{ m}$$

- ❖ Untuk mengecek kekakuan tiang fondasi *tiang pancang persegi*, berdasarkan Persamaan (2.33) adalah sebagai berikut:

$$E = 4700 \times \sqrt{fc}$$

$$= 4700 \times \sqrt{24,9}$$

$$23452,95 \text{ kN/m}^3$$

- ❖ Berikut adalah perhitungan kekakuan tiang fondasi, berdasarkan Persamaan (2.34)

$$\begin{aligned} I &= \frac{1}{6} \times \pi \times D^4 \\ &= \frac{1}{6} \times 3,14 \times 0,5^2 \\ &= 0,032708 \text{ m}^4 \end{aligned}$$

- ❖ Faktor kekakuan R dan T

Berikut adalah perhitungan faktor kekakuan pada tanah granular, berdasarkan Persamaan (2.36) dan (2.37)

$$\begin{aligned} T &= \sqrt{\frac{E_p \times \eta_p}{n_b}} \\ &= \sqrt{\frac{23452,95 \times 0,02708}{8150}} \\ &= 1,385 \text{ m} \\ 4T &= 4 \times T \\ &= 4 \times 1,385 \\ &= 5,543 \text{ m} \end{aligned}$$

Dari hasil perhitungan didapatkan,  $L$  (11,4 m)  $>$   $4T$  (5,543 m), sehingga tiang fondasi merupakan tiang fondasi panjang elastis.

- ❖ Cek keruntuhannya tanah

Untuk mengecek Perhitungan keruntuhannya tanah berdasarkan Persamaan (2.38) adalah sebagai berikut:

$$\begin{aligned} M_{max} &= D \times V \times L^3 \times K_p \\ &= 0,5 \times 15,69 \times 11,4^3 \times 2,423 \\ &= 28172,5 \text{ kN/m} \end{aligned}$$

- ❖ Karena pada tiang fondasi panjang dan ujung jepit,  $M_{max} > M_y$ , dan asumsi  $M_y = 1500 \text{ kN/m}$ . Sedangkan untuk perhitungannya sesuai dengan Persamaan (2.40) adalah sebagai berikut:
  - Berikut adalah perhitungan jarak kedalaman titik dimana gaya geser=0 (m), berdasarkan Persamaan (2.40)

$$f = 0,82 \sqrt{\frac{hu}{d \times k_p \times \gamma}}$$

$$= 0,82 \sqrt{\frac{hu}{0,5 \times 2,423 \times 15,69}}$$

$$= 0,188 \sqrt{hu}$$

- Berikut adalah perhitungan daya dukung lateral tiang, berdasarkan Persamaan (2.39)

$$Hu = \frac{2My}{d + \frac{zf}{2}}$$

$$= \frac{2 \times 1500}{0 + \frac{0,188 \sqrt{hu}}{2}}$$

$$= 830,56 \text{ kN}$$

- Berikut adalah perhitungan daya dukung lateral izin tiang, berdasarkan Persamaan (2.41)

$$H_{izin} = \frac{Hu}{sf} = \frac{830,56}{2,5}$$

$$= 332,224 \text{ kN}$$

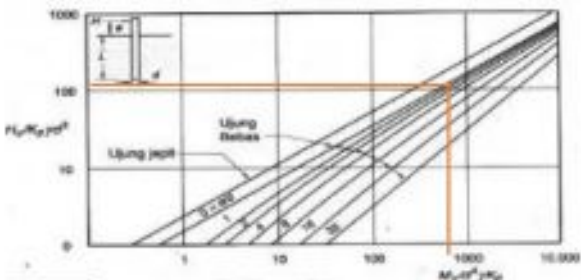
- Daya dukung ulimit fondasi *tiang pancang persegi* terhadap gaya lateral berdasarkan grafik. Dibawah ini adalah perhitungan daya dukung ulimit fondasi *tiang pancang persegi*:

$$\text{Tahanan momen ulimit} = \frac{My}{D^3 \times Y \times k_p}$$

$$= \frac{1500}{0,5^4 \times 15,69 \times 2,423}$$

$$= 631 \text{ kN}$$

Nilai tahanan ulimit didapatkan 631 kN, lalu di input ke dalam grafik, dilihat pada Gambar 4.4 didapat sebesar 185.



Gambar 4.4 Tahanan Ultimit Fondasi Tiang pancang persegi

$$185 = \frac{Hu}{K_p \times \gamma \times n^3}$$

$$\begin{aligned} Hu &= 185 \times 2,423 \times 15,69 \times 0,5^3 \\ &= 879,14 \text{ kN} \end{aligned}$$

#### 4.5 Analisa Daya Dukung Fondasi *Bored Pile*

Berikut adalah Data untuk perhitungan fondasi *bored pile*:

$$\text{Diameter (D)} = 50 \text{ cm}$$

$$\begin{aligned} \text{Keliling (P)} &= \pi \cdot D \\ &= 3,14 \cdot 0,50 \end{aligned}$$

$$1,57 \text{ m}$$

$$\begin{aligned} \text{Luas Penampang (A_p)} &= \frac{1}{4} \pi \cdot D^2 \\ &= 0,19625 \text{ m}^2 \end{aligned}$$

$$\text{Kedalaman} = 11,4 \text{ m}$$

**UNISSULA**  
جامعة سلطان عبد العزيز

##### 4.5.1 Daya Dukung Fondasi *Bored Pile* Metode Mayerhoff

Untuk perhitungan Daya dukung tanah kedalaman 11,4 m, berdasarkan Persamaan (2.6) adalah sebagai berikut :

- ❖ Perhitungan daya dukung ujung tiang berdasarkan Persamaan (2.6)

$$Q_p = q_c \times A_h / 3$$

$$= \frac{110 \cdot 1962,5}{3} \\ = 71958,33 \text{ Kg}$$

- ❖ Perhitungan daya dukung selimut fondasi *tiang pancang persegi* berdasarkan Persamaan (2.6)

$$Q_s = JHP \times O/5$$

$$= 112 \times 157/5 \\ = 3516,8 \text{ Kg}$$

- ❖ Perhitungan daya dukung ultimat fondasi berdasarkan Persamaan (2.1)

$$Qu = Qp + Qs$$

$$71958,33 + 18149,2 \\ = 75475,13 \text{ Kg}$$

Untuk hasil perhitungan daya dukung fondasi *bored pile* selanjutnya dapat dilihat pada Tabel 4.9 di bawah ini.

Tabel 4.10 Hasil Daya Dukung Fondasi Bored Pile Metode Mayerhoff

Dep	Qt	Ap	JHL	KL	Qu
0	0	1962,50	0,00	157,00	0,00
2	14	1962,50	12,00	157,00	9535,13
6	15	1962,50	58,00	157,00	10325,37
11,4	110	1962,50	112,00	157,00	75475,13

#### 4.5.2 Perhitungan Jarak Antar Fondasi *Bored Pile* Dan Jarak As Ke Tepi

Untuk menentukan jarak antar fondasi *bored pile* dapat digunakan rumus berdasarkan Persamaan (2.11)

$$S \geq 3D = 3 \cdot 0,50 = 1,50 \text{ m}$$

#### 4.5.3 Kebutuhan Jumlah Fondasi *Bored Pile*

Untuk menentukan banyaknya fondasi *bored pile* yang dibutuhkan dalam kelompok tiang berdasarkan Persamaan (2.32) adalah sebagai berikut:

$$Np = \frac{P}{Q_{tip}} = \frac{37,6156}{30,19905} = 2,902135 \text{ dibulatkan menjadi } 3 \text{ buah.}$$

#### 4.5.4 Efisiensi Daya Dukung Tiang

Berikut adalah perhitungan Efisiensi daya dukung tiang fondasi menggunakan metode Coverse-Labarre berdasarkan Persamaan (2.29)

$$\theta = \text{Arc} \tan \frac{D}{S} = \text{Arc} \frac{0,5}{1,5} = 18,43$$

$$n = 3; m = 1$$

$$\eta = 1 - \left[ \frac{(n-1).m + (m-1).n}{90.m.n} \right] . \theta$$

$$\eta = 1 - \left[ \frac{(3-1).1 + (1-1).3}{90.1.3} \right] . 18,43 \\ = 0,89$$

$$Qg = Np \times q_{ult} \times \eta \\ = 3 \times 30,19005 \times 0,89 \\ = 90,57016 \text{ t}$$

Didapatkan  $V$  (90,57016 Ton)  $\leq Qg$  (97,054 Ton), maka AMAN

#### 4.5.5 Penurunan Tiang Tunggal

Berikut adalah Perhitungan penurunan tiang tunggal menurut Vesic, berdasarkan Persamaan (2.48)

$Ec'$	= 24,9 kN
Beban yang diterima ujung tiang ( $Q_{wp}$ )	= 71,96 kN
Beban yang diterima selimut tiang ( $Q_{ws}$ )	= 18,15kN
Modulus elastisitas tiang ( $E_p$ )	= 23452952,21 t
Distribusi tahanan sepanjang tiang ( $c$ )	= 0,5
Tahanan ujung batas tiang ( $Q_p$ )	= 1,59 = 0,159
Koefisien empiris ( $C_p$ )	= 0,03
Panjang tiang ( $L$ )	= 11,4 m
$E_s$	= 50000
$I_{ws}$	= 10,86667

Berikut adalah perhitungan penurunan fondasi akibat batang berdasarkan Persamaan (2.49)

$$S1 = \frac{(Qwp + c \times Qws) \times L}{E_b \times E_p} = \frac{[71.96 + 0.5 \times 18.15] \times 11.4}{1962500.23452952.21} = 0,00001601 \text{ cm}$$

Berikut adalah perhitungan penurunan fondasi akibat beban di ujung, berdasarkan Persamaan (2.50)

$$S2 = \frac{Qwp \times C_p}{D \times q_p} = \frac{71.96 \times 0.03}{5 \times 0.143283155} = 1,5550 \text{ cm}$$

Berikut adalah perhitungan penurunan fondasi akibat beban yang disalurkan sepanjang selimut, berdasarkan Persamaan (2.51)

$$S3 = \frac{Qwp}{P_L} \times \frac{D}{E_s} \times (1 - \mu_s^2) \times l_{ws} = \\ \frac{71.96}{1.57 \times 11.4} \times \frac{0.5}{50000} \times (1 - 0.2^2) \times 10.86667 = 0,003775 \text{ cm}$$

Untuk perhitungan total penurunan, berdasarkan Persamaan (2.48) adalah sebagai berikut :

$$St = S1 + S2 + S3 \\ = 0,00001601 + 1,5550 + 0,003775 \\ = 1,55 \text{ cm}$$

Penurunan yang diizinkan adalah  $S_{sis} = 10\% \times D = 10\% \times 50 = 5 \text{ cm}$

Maka penurunan total tiang tetap AMAN, karena  $1,55 \text{ cm} < 5 \text{ cm}$

#### 4.5.6 Penurunan Kelompok Tiang

Untuk menentukan perhitungan penurunan kelompok tiang *bored pile* digunakan Persamaan (2.53), adalah sebagai berikut :

$$Sg = St \sqrt{\frac{b'}{R}} = 1,55 \sqrt{\frac{2,5}{0,5}} = 3.48 \text{ cm}$$

#### 4.5.7 Waktu Penurunan Tanah Fondasi *Bored Pile*

Berikut adalah perhitungan Penurunan tanah pada fondasi *bored pile*, berdasarkan Persamaan (2.55)

Factor waktu ( $T_v$ ) 0,863

Derajat konsolidasi ( $C_v$ ) = 0,0045

$$T = \frac{T_p \times H^2}{C_v} = \frac{0,848 \times 11,4^2}{0,0045} = 24490,24 \text{ jam} = 2,795 \text{ tahun}$$

Jadi, waktunya penurunannya adalah selama 2,795 tahun.

#### 4.5.8 Perhitungan Daya Dukung Lateral Fondasi *Bored Pile*

Perhitungan daya dukung lateral fondasi *bored pile* berdasarkan Persamaan (2.46) adalah sebagai berikut :

Diketahui :

$$Y = 1,6 t - 15,69 \text{ kN/m}^2$$

$$\Theta = 28,32^\circ$$

$$k_p = \frac{1}{k_a} = \frac{1}{\tan(45 \frac{\Theta}{2})} = \frac{1}{\tan(45 \frac{28,32}{2})} = \frac{1}{0,4125} = 2,42$$

$$f'_c = 24,9 \text{ Mpa}$$

$$D = 0,5 \text{ m}$$

$$n_h = 150 \text{ kN/m}^3$$

$$L = 11,4 \text{ m}$$

- ❖ Untuk mengecek kekakuan tiang fondasi *bored pile*, berdasarkan Persamaan (2.33), adalah sebagai berikut:

$$\begin{aligned} E &= 4700 \times \sqrt{f'_c} \\ &= 4700 \times \sqrt{24,9} \\ &= 23452,95 \text{ kN/m}^2 \end{aligned}$$

- ❖ Untuk menentukan Kekakuan tiang fondasi, berdasarkan Persamaan (2.34), adalah sebagai berikut:

$$\begin{aligned} I &= \frac{1}{6} \times \pi \times D^4 \\ &= \frac{1}{6} \times 3,14 \times 0,5^4 \\ &= 0,032708 \text{ m}^4 \end{aligned}$$

- ❖ Faktor kekakuan R dan T

Untuk menghitung Faktor kekakuan pada tanah granular, berdasarkan Persamaan (2.36) dan (2.37), adalah sebagai berikut:

$$T = \sqrt{\frac{Ep \times Ip}{nb}}$$

$$= \sqrt{\frac{23452,95 \times 0,03708}{8150}}$$

$$= 1,385 \text{ m}$$

$$4T = 4 \times T$$

$$= 4 \times 1,385$$

$$= 5,543 \text{ m}$$

Dari hasil perhitungan didapatkan,  $L$  (11,4 m) >  $4T$  (5,543 m), sehingga tiang fondasi merupakan tiang fondasi panjang elastis.

❖ Cek keruntuhuan tanah

Untuk menentukan perhitungan keruntuhuan tanah berdasarkan Persamaan (2.38), adalah sebagai berikut:

$$M_{max} = D \times V \times L^3 \times K_p$$

$$= 0,5 \times 15,69 \times 11,4^3 \times 2,423$$

$$= 28172,5 \text{ kN/m}$$

❖ Karena pada tiang fondasi panjang dan ujung jepit,  $M_{max} > M_y$ , dan asumsi  $M_y = 1500 \text{ kN/m}$ . Sedangkan untuk perhitungannya sesuai dengan Persamaan (2.40), adalah sebagai berikut:

- Berikut adalah perhitungan jarak kedalaman titik dimana gaya geser=0 (m), berdasarkan Persamaan (2.40)

$$f = 0,82 \sqrt{\frac{H_u}{d \times K_p \times \gamma}}$$

$$= 0,82 \sqrt{\frac{H_u}{0,5 \times 2,423 \times 15,69}}$$

$$= 0,188 \sqrt{H_u}$$

- Berikut adalah perhitungan daya dukung lateral tiang, berdasarkan Persamaan (2.39)

$$H_u = \frac{2My}{d + \frac{4f}{3}}$$

$$= \frac{2 \times 1500}{0 + \frac{2(0,188\sqrt{H_u})}{3}}$$

$$= 830,56 \text{ kN}$$

- Berikut adalah perhitungan daya dukung lateral izin tiang, berdasarkan Persamaan (2.41)

$$H_{\text{izin}} = \frac{H_u}{\gamma_f} = \frac{895,23}{2,5}$$

$$= 332,224 \text{ kN}$$

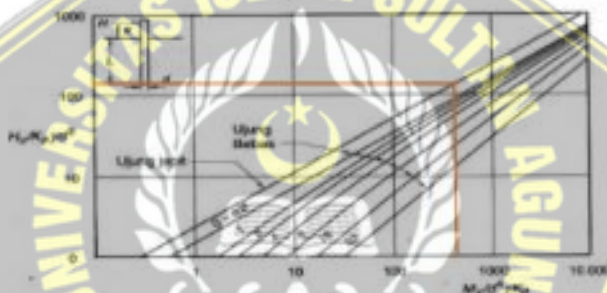
- Daya dukung ultimit fondasi *bored pile* terhadap gaya lateral berdasarkan grafik.

Tahanan momen ultimit =  $\frac{H_u Y}{D^4 \times \gamma \times K_p}$

$$= \frac{1500}{0,5^4 \times 15,69 \times 2,423}$$

$$= 631 \text{ kN}$$

Nilai tahanan-ultimit didapatkan 631 kN, lalu di input ke dalam grafik, dilihat pada Gambar 4.4 didapat sebesar 184.



Gambar 4.5 Tahanan Ultimit Fondasi *Bored Pile*

$$184 = \frac{H_u}{K_p \times Y \times D^3}$$

$$H_u = 187 \times 2,423 \times 15,69 \times 0,5^3$$

$$= 874,79 \text{ kN}$$

#### 4.6 Penurunan Fondasi Menggunakan Software PLAXIS 8.6

dapat Software PLAXIS ini digunakan untuk membuat pemodelan fondasi bore pile untuk mengetahui besarnya penurunan fondasi bored pile akibat beban aksial yang diterima. Berikut adalah data yang digunakan untuk permodelan pada program plaxis untuk merencanakan fondasi dilihat pada tabel 4.11

Tabel 4.11

Tabel 4.11 Parameter Tanah korelasi dengan N-SPT gedung fraksi DPRD Kudus

Dept.	N SPT	Deskripsi	Konsistensi	E (KN/m <sup>2</sup> )	C (KN/m <sup>2</sup> )	$\phi$ (phi)	kx (m/s)	ky (m/s)	V	$\gamma_{dry}$ (KN/m <sup>3</sup> )	$\gamma_{sat}$ (KN/m <sup>3</sup> )
0-4	7	Clays	Medium	7000	10	25	1.10E-07	1.10E-07	0.3	14	16
4-5	21	Silts clay	Stiff	21000	45	30	1.10E-05	1.10E-05	0.3	13	18
5-11	15	Clays	Medium	15000	25	25	1.10E-07	1.10E-07	0.3	14	16
11-14	17	Silts clay	Stiff	17000	45	30	1.10E-05	1.10E-05	0.3	13	18
14-15	11	Clays	Medium	11000	25	25	1.10E-07	1.10E-07	0.3	14	16
15-20	21	Silts clay	Stiff	21000	45	30	1.10E-05	1.10E-05	0.3	13	18

(Sumber : Das (1985))

Untuk melanjutkan permodelan fondasi *bored pile* pada plaxis V 8.6, digunakan data-data sebagai berikut :

$$E = 4700\sqrt{fc} = 4700\sqrt{24.9} = 23452950 \text{ m}$$

$$I = \frac{1}{2} \cdot \pi \cdot r^2 = \frac{1}{2} \cdot 2400 \cdot 0.25^2 = 75 \text{ m}^4$$

$$A = 0,196 \text{ m}^2$$

$$EA = 23452950 \times 0,196 = 4596778,2 \text{ kN/m}$$

$$EI = 23452950 \times 0,196 = 1758971250 \text{ kN/m}^3$$

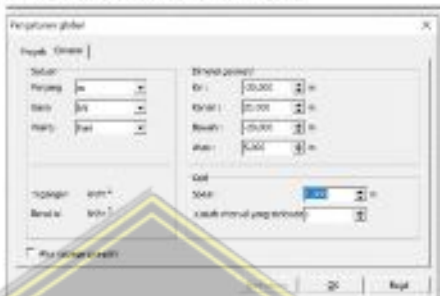
❖ Berikut langkah-langkah untuk perhitungan pemurnianan fondasi tiang tunggal menggunakan software PLAXIS V 8.6 :

- Untuk tahap pertama input data menggunakan software PLAXIS V 8.6 dengan menentukan judul dan satuan, dapat dilihat pada gambar 4.6



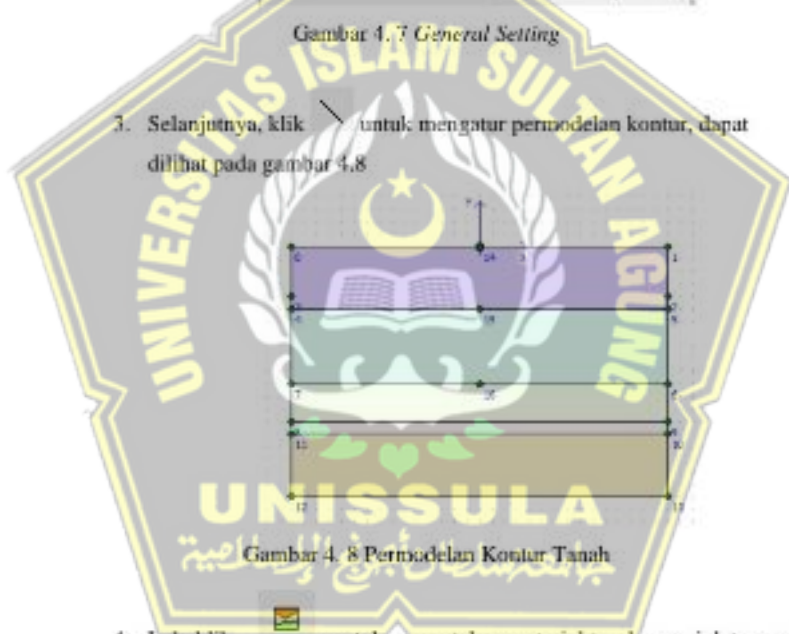
Gambar 4. 6 General Setting

- Kemudian input data dimensi sesuai dengan fondasi yang direncanakan, dapat dilihat pada gambar 4.7



Gambar 4. 7 General Setting

- Selanjutnya, klik untuk mengatur permoldelan kontur, dapat dilihat pada gambar 4.8



Gambar 4. 8 Permodelan Kontur Tanah

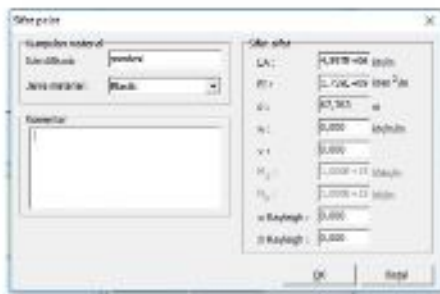
- Lalu klik untuk menentukan material tanah sesuai data yang digunakan, dilihat pada gambar 4.9 hingga gambar 4.11

Gambar 4. 9 Data Vimurn Tanah

Gambar 4. 10 Mahr Coulomb

Gambar 4. 11 Mahr Coulomb

- Setelah input data material tanah, selanjutnya input data material fondasi sesuai dengan data yang digunakan, sesuai gambar 4.12



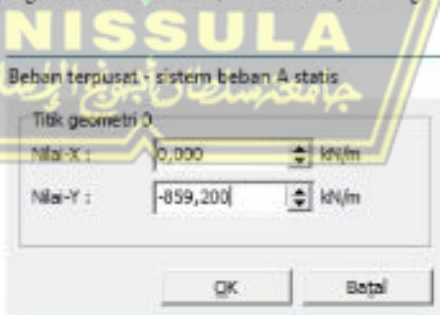
Gambar 4. 12 Data Material Fondasi

- Kemudian klik untuk menentukan fondasi bored pile yang telah ditentukan, seperti gambar 4.13



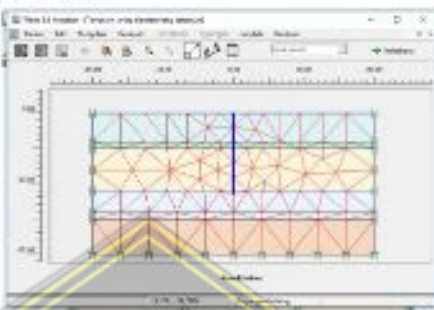
Gambar 4. 13 Permodelan

- Selanjutnya klik untuk memberi beban yang akan digunakan, beban yang digunakan sebesar  $859,2162 \text{ kN/m}^2$ , sesuai gambar 4.14



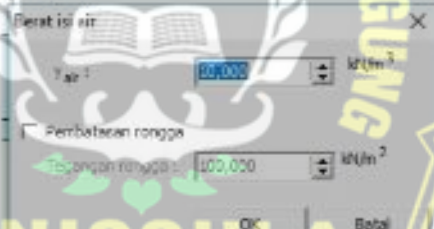
Gambar 4. 14 Input Pembebatan

8. Lalu klik untuk mengetahui susunan jaringan antara elemen, sesuai pada gambar 4.15

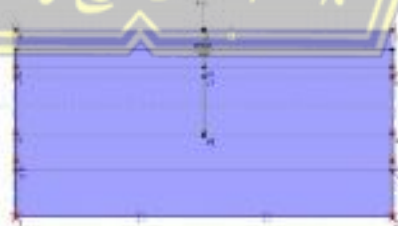


Gambar 4. 15 Susunan Jaringan Elemen

9. Kemudian klik yang ada pada toolbar, selanjutnya klik untuk mengetahui berat isi air dan muka air tanah 2,10m dibawah pemukiman tanah, dapat dilihat pada gambar 4.16 sampai gambar 4.17

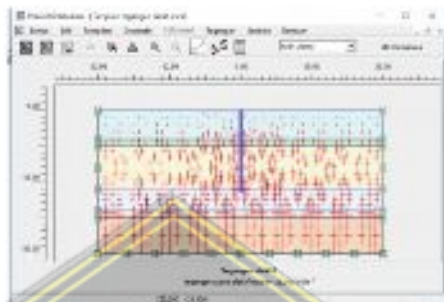


Gambar 4. 16 Water Weight



Gambar 4. 17 Muka Air Tanah

10. Kemudian klik seperti gambar 4.18



Gambar 4.18 Output Soil Stresscess

11. Selanjutnya klik dan akan di dapatkan seperti gambar 4.19

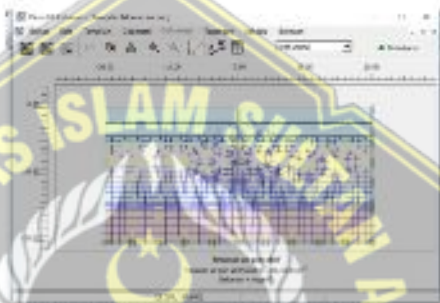


Gambar 4.19 Tekanan Air Pori

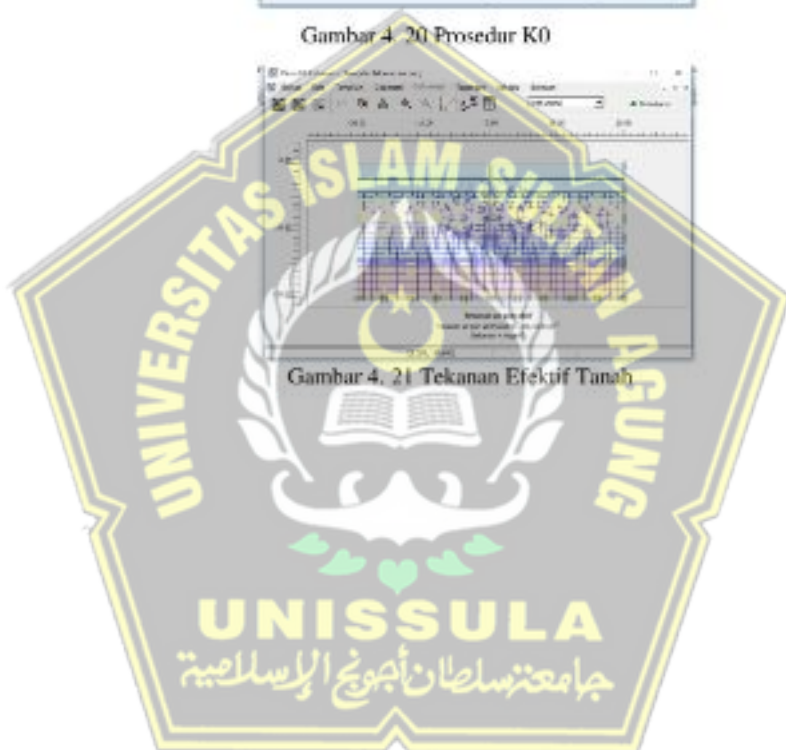
12. Kemudian klik Info akan muncul prosedur K0 sesua gambar 4.20, lalu klik untuk mengetahui hasil dari perhitungan permodelan menggunakan software PLAXIS V 8.6,dapat dilihat pada gambar 4.21

Prosedur-KD					
Klasifikasi	Material	DCH	PT34	KO	
1	HC	N/A	N/A	0,426	
2	HC	N/A	N/A	0,577	
3	HC	N/A	N/A	0,426	
4	HC	N/A	N/A	0,577	
5	HC	N/A	N/A	0,426	

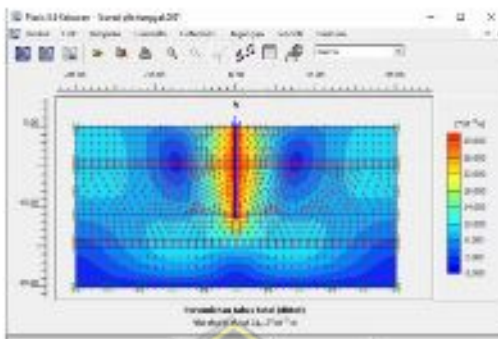
Gambar 4. 20 Prosedur K0



Gambar 4. 21 Tekanan Efektif Tanah



13. Hasil dari permodelan software PLAXIS v 8.6 menghasilkan penurunan sebesar 3,117 cm, dapat dilihat pada gambar 4.22



Gambar 4.22 Deformasi otak yang Terjadi  $31,17 \times 10^{-5}$  m

♦ Berikut langkah – langkah perhitungan penurunan fondasi kelompok tiang menggunakan software PLAXIS V 8.6

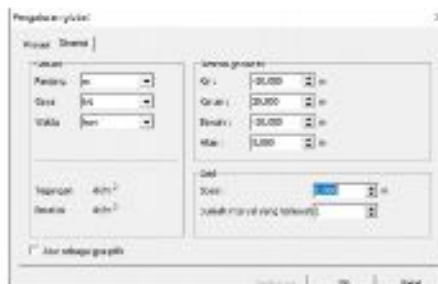
1. Tahapan pertama input data menggunakan software PLAXIS V 8.6 dengan menentukan judul dan satuan, sesuai Gambar 4.23



Gambar 4.23 Pengaturan Global-Project

**UNISSULA**  
جامعة سلطان عبد العزيز الإسلامية

2. Lalu input data dimensi sesuai dengan fondasi rencana, sesuai gambar 4.24



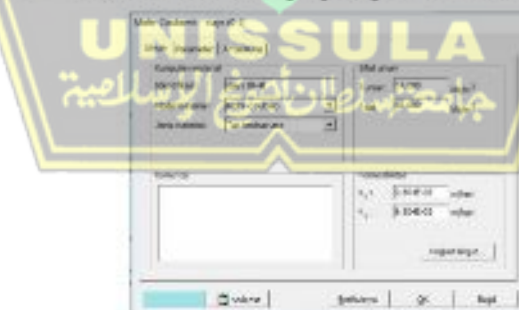
Gambar 4.24 Pengaturan Global-Dimensi

- Kemudian pada tahap selanjutnya klik untuk mengatur pemodelan kontur tanah, sesuai gambar 4.25



Gambar 4.25 Pemodelan Kontur Tanah

- Klik dan akan muncul dialog seperti gambar 4.26 hingga 4.28



Gambar 4.26 Mohr-Coulumb



Gambar 4.27 Mohr Coulomb



Gambar 4.28 Dialog Muka Material Pasir

5. Setelah input data material tanah, tahap selanjutnya input data material fondasi sesuai dengan yang direncanakan, terdapat di gambar 4.29

Material - Fondasi [B.4]

Urus | Parameter | Analisa

**Konstanta:**

- Fondasi
- Pasir

**Data material:**

- Pasir

**Analisa:**

- $\sigma_{\text{at}} = 100.000 \text{ kN/m}^2$
- $c = 0.000 \text{ kN/m}^2$
- $\phi = 30.000^\circ$
- $\gamma = 19.120 \text{ kN/m}^3$
- $E = 1.7300 \times 10^9 \text{ MN/m}^2$
- $G = 0.3931 \text{ GPa}$

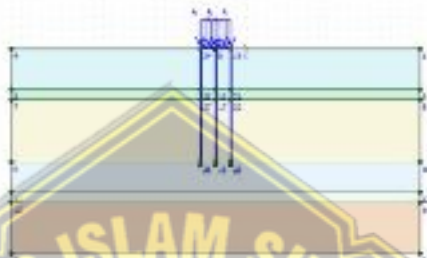
**Hasil:**

- $\sigma_{\text{at}} = 0.000 \text{ kN/m}^2$
- $c = 0.000 \text{ kN/m}^2$
- $\phi = 30.000^\circ$
- $\gamma = 19.120 \text{ kN/m}^3$
- $E = 1.7300 \times 10^9 \text{ MN/m}^2$
- $G = 0.3931 \text{ GPa}$
- $\sigma_{\text{at}} = 0.000 \text{ kN/m}^2$
- $c = 0.000 \text{ kN/m}^2$

QC Bantuan

Gambar 4.29 Data Material Fondasi

6. Kemudian klik  untuk menentukan fondasi bored pile yang sudah ditentukan. Setelah itu klik  untuk mengaktifkan tekanan positif dan negatif di sekitar fondasi sesuai Gambar 4.30



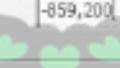
Gambar 4.30 Permodelling Fondasi *Bored Pile* Kelompok

7. Setelah itu klik  untuk mengisi beban dari beban bangunan, beban yang digunakan sebesar  $859,216 \text{ KN/m}^2$  sesuai gambar 4.31

Beban terpusat - sistem beban A statis

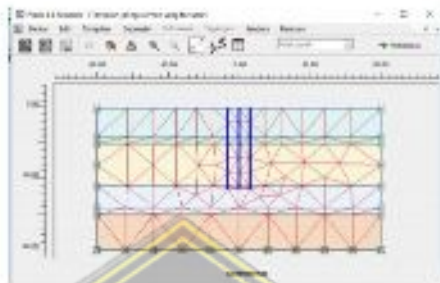
Titik geometri 0
Nilai-X : <input type="text" value="0,000"/> <span>kn/m</span>
Nilai-Y : <input type="text" value="-859,200"/> <span>kn/m</span>

OK      Batalk

**UNISSULA**   
جامعة سلطنة عُمان

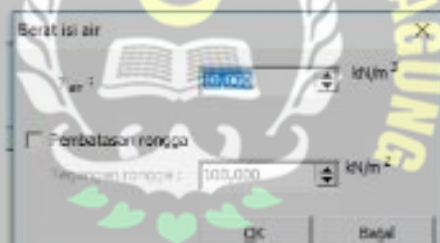
Gambar 4.31 Point Load

8. Klik  untuk mengetahui susunan jaringan elemen, terdapat pada gambar 4.32



Gambar 4.32 Susunan Jaringan Elemen

9. Lalu klik  yang ada di toolbar, kemudian klik  untuk mengetahui berat isi air dan muka iar tanah yang berada dikedalaman 8m dibawah permukaan tanah sesuai gambar 4.33 hingga gambar 4.34

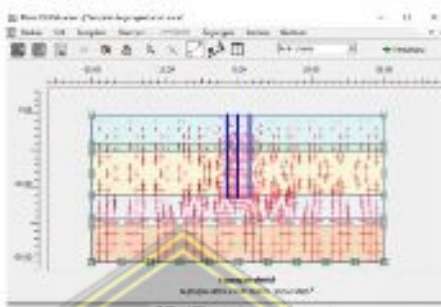


Gambar 4.33 Water Weight

جامعة سلطان عبد العزیز

Gambar 4. 34 Output Muka Air Tanah

10. Kemudian klik maka akan muncul dialog sesuai gambar 4.35



Gambar 4.35 Output Soil Stressess

11. Klik maka akan muncul dialog sesuai gambar 4.36



Gambar 4.36 Output Air Pori

12. Kemudian klik lalu akan muncul prosedur - K0 dapat dilihat pada

Gambar 4.37. tekan tombol untuk mengetahui hasil dari perhitungan-permodelan menggunakan software PLAXIS V 8.6, dapat dilihat digambar 4.38

Prosedur-K0

Diketahui: **K0**

Karter	Panjang	CCR	POP	K0
1	N/A	N/A	N/A	0,125
2	N/A	N/A	N/A	0,577
3	N/A	N/A	N/A	0,425
4	N/A	N/A	N/A	0,577
5	N/A	N/A	N/A	0,426

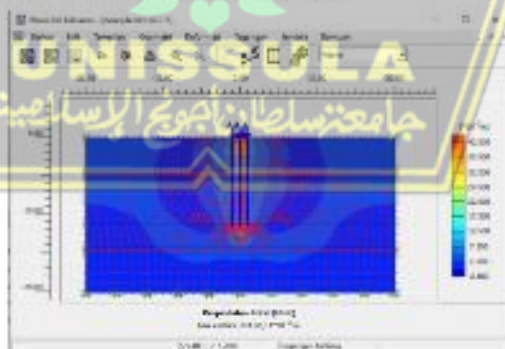
OK      Batal

Gambar 4.37 Prosedur K0



Gambar 4.38 Tekanan Efektif Tanah

13. Hasil dari pemodelan menggunakan software PLAXIS V.8.6 menghasilkan penurunan sebesar **4,311 cm** seperti gambar 4.39



Gambar 4.39 Deformasi Total yang Terjadi  $4,311 \times 10^{-3}$  m

#### 4.7 Pembahasan

##### 4.7.1 Perhitungan Daya Dukung

Hasil dari perhitungan Daya dukung fondasi aksial dan lateral menggunakan metode mayerhoff dapat dilihat pada tabel 4.12.

Tabel 4. 12 Perbandingan Perhitungan Daya Dukung Fondasi

No	Perhitungan	Aksial (kN)	Lateral (kN)
1	Tiang pancang persegi	917,432	879,14
2	Bored Pile	754,13	874,39

Perhitungan diatas didapat dari Persamaan Meyerhoff :

$$Q_{lim} = \frac{q_c A_c}{3} + \frac{M_u \times E_u}{5}$$

Dari tabel 4.11 diperoleh Daya dukung fondasi pada *Bored Pile* lebih kecil dibandingkan daya dukung tiang pancang persegi karena perhitungan dasar luas dan keliling hasilnya lebih kecil *bored pile* dibandingkan tiang pancang persegi.

##### 4.7.2 Perhitungan Penurunan

Berikut adalah perbandingan perhitungan penurunan fondasi *bored pile* dan tiang pancang persegi serta plassis:

Tabel 4.13 Perbandingan Perhitungan Penurunan Fondasi

No	Perhitungan	Tunggal (cm)	Kelompok (cm)
1	Tiang pancang persegi	1,1	2,56
2	Bored Pile	1,55	3,48
3	Plassis	3,117	4,311

Dari tabel 4.13 penurunan fondasi Tiang pancang persegi lebih kecil dari *bored pile* ini dikarenakan Daya dukung fondasi Tiang pancang persegi lebih besar dari pada *bored pile*.

## BAB V PENUTUP

### 5.1 Kesimpulan

Hasil analisis proyek pembangunan Gedung Fraksi DPRD Kudus dapat di tarik kesimpulan sebagai berikut :

1. Hasil perhitungan pembebanan gedung menggunakan software SAP2000 V.14, didapatkan hasil beban maksimal yang terjadi sebesar 859,2162 kN.
2. Hasil perhitungan mengenai dimensi *tiang pancang persegi* dama an *bored pile* sama-didapatkan ukuran 50 cm x 50 cm, dengan kedalaman fondasi 11,4 m. Hasil perhitungan daya dukung aksial dan lateral secara manual untuk fondasi *tiang pancang persegi* dengan metode *Mayerhof* dengan kedalaman 11,4 m, dihasilkan daya dukung tiang kelompok dengan nilai sebesar 917,432 kN. Dan untuk daya dukung lateral ( $H_u$ ) didapatkan hasil sebesar 879,14 kN. Hasil perhitungan daya dukung aksial dan lateral secara manual untuk fondasi *bored pile* dengan metode *Mayerhof* dengan kedalaman 11,4 m, dihasilkan daya dukung tiang kelompok dengan nilai sebesar 754,75 kN. Dan untuk daya dukung lateral ( $H_u$ ) didapatkan hasil sebesar 874,79 kN.
3. Hasil perhitungan penurunan yang terjadi pada fondasi *tiang pancang persegi* tunggal sebesar 1,1 cm, sedangkan untuk penurunan tiang kelompok sebesar 2,56 cm, yang akan terjadi selama 2,795 tahun. Dan untuk hasil perhitungan penurunan yang terjadi pada fondasi *bored pile* tunggal sebesar 1,55 cm, sedangkan untuk penurunan penurunan fondasi *bored pile* kelompok sebesar 3,48 cm. Hasil dari perhitungan penurunan menggunakan software PLAXIS V.8.6 di dapat nilai penurunan fondasi *bored pile* sebesar 3,117 cm, sedangkan penurunan fondasi kelompok sebesar 4,311 cm.

### 5.2 Saran

1. Untuk menghitung fondasi grup tiang bisa divariasikan dengan menvariasikan jenis fondasi terhadap daya dukung dan penurunan tanah
2. Untuk validasi dan penurunan fondasi bisa menggunakan aplikasi allpile

3. Konfigurasi fondasi terhadap daya dukung bisa bervariasi lagi seperti menggunakan fondasi jenis lainnya.



## DAFTAR PUSTAKA

- Achmad, F. M. (2021). *Analisis Daya Dukung Fondasi Kelompok Tiang Bangunan*. Bandung Utara.
- Bogeman, M. L. (1965). *Teknologi Mekanika*. Jakarta: Erlangga.
- Bowles, J. E. (1998). *Analisa dan Desain Fondasi : Edisi Keempat Jilid II*, Erlangga, Jakarta.
- Bowless, J. E. (1997). *Analisis Dan Desain Fondasi Jilid 2*. Jakarta: Erlangga.
- Bowles, J. E., & Henlim, J. K. (1991). *Sifat-sifat Fisis dan Geoteknis Tanah (Mekanika Tanah)*. Jakarta: PT . Erlangga.
- Craig, R. F. (1991). *Mekanika Tanah*. Jakarta: PT. Erlangga.
- Das, B. M. (2011). *Principle Of Foundation Engineering*, edisi 7. Cengange Learning, Stamford USA.
- Fitriyana, Lisa. (2020). *Modul Mata Kuliah Perencanaan Bangunan Sipil III*. Semarang: Universitas Islam Sultan Agung.
- Gunawan, R. (1990). *Pengantar Teknik Fondasi*. Yogyakarta: Kanisius.
- Hardiyatmo, H. C. (2002). *Mekanika Tanah I Edisi: 3*. Jakarta: PT. Gramedia Pusat Utara,
- Jusi, U. (2015). *Analisa Kuat Dukung Fondasi Bored Pile Berdasarkan Data Pengujian Lapangan*. Jurnal Teknik Sipil Siklus, pp. 50-82.
- Mayethoff, G. G. (1965). *Shallow Foundation*. Journal Of The Soil Mechanics And Foundations Devision. ASCE, Vol. 91, No. SM2, pp 21-23.
- Pamungkas, E. T., Gadjito, E., Winarto, S., & Azhari, F. M., (2021). *Meningkatkan Daya Dukung Tanah dengan Fondasi Tiang pancang persegi Pada Gedung PT. Maju Jaya Kecamatan Ngawiem, Kab. Kediri*. Jurnal Manajemen Teknologi & Teknik Sipil.
- Pagehgiri, J. (2015). *Analisis Penggunaan Fondasi Tiang pancang persegi dan Fondasi Bored Pile Terhadap Biaya dan Waktu Pelaksanaan Pembangunan Ruang Kelas SMPN 10 Denpasar*. Jurnal Teknik Sipil. Surabaya: Untag.
- Pratikso. (2017). *Mekanika Tanah I*. Semarang: UNISSULA PRESS.

- Rustiansyah, M. D. (2019). *Studi Perencanaan Fondasi Rakit (Raft Foundation) Pada Proyek Pembangunan Rumah Sakit Gigi dan Mulut Universitas Brawijaya*. Undergraduate (S1) thesis, University of Muhammadiyah Malang,
- Tomlinson, M., and Woodward, J. 2015. *Pile Design Construction Practice 6<sup>th</sup> ed.* CRC Pres Taylor & Francis Group A Spon Press Book. Landen, New York,
- Vesic, A. S. 1977. *Design of Pile Foundations*. NCHRRP Synthesis of Practice. No. 42. Transportation Research Board. Washinton DC,
- Yusti, A., & Fahriani, F. (2014). *Analisis Daya Dukung Fondasi Tiang penyang persegi Diverifikasi dengan Hasil Uji Pile Driving Analizei Rest dan CAPWAP (Studi: Kasus Proyek Pembangunan Gedung Kantor Bank Sumsel Babel Di PalangkaRinjani)*. Jurnal Propil, 2 (1), pp. 19-31,

